

Министерство науки и высшего образования РФ  
ФГБОУ ВО «Тверской государственный университет»  
Математический факультет  
Направление 02.04.01 Математика и компьютерные науки  
Профиль «Математическое и компьютерное моделирование»

ВЫПУСКНАЯ КВАЛИФИКАЦИОННАЯ РАБОТА  
(МАГИСТЕРСКАЯ ДИССЕРТАЦИЯ)

Вариационный квантовый алгоритм с оптимизацией  
методом отжига

Автор:  
Алешин Дмитрий Алексеевич  
Подпись:

Научный руководитель:  
д. ф.-м. н. Цирулёв Александр  
Николаевич  
Подпись:

Допущен к защите:  
Руководитель ООП: Цветков В.П.

---

*(подпись, дата)*

Тверь 2025

# Оглавление

Введение	4
<b>1 Общая схема квантовых вариационных алгоритмов</b>	<b>7</b>
1.1 Базис Паули . . . . .	7
1.1.1 Связь стандартного базиса и базиса Паули . . . . .	7
1.1.2 Коммутационные и антикоммутационные соотношения . . . . .	10
1.1.3 Коммутирующие элементы в алгебре Ли группы $SU(2^n)$ . . . . .	11
1.2 Вариационная квантовая оптимизация . . . . .	13
1.3 Общая схема алгоритма . . . . .	15
1.3.1 Анзац . . . . .	15
1.3.2 Алгоритм в псевдокодах . . . . .	16
1.4 Пример, иллюстрирующий особенности алгоритма . . . . .	17
<b>2 Вариационный квантовый алгоритм и метод отжига</b>	<b>23</b>
2.1 Метод отжига . . . . .	23
2.1.1 Список данных . . . . .	24
2.2 Алгоритм . . . . .	25
2.2.1 Краткое описание алгоритма . . . . .	25
2.2.2 Квантовая оптимизация методом отжига . . . . .	26
2.2.3 Общая структура программного кода . . . . .	27
2.2.4 Описание гамильтониана . . . . .	28
2.2.5 Загрузка гамильтониана . . . . .	28

2.2.6	Вариационный анзац в базисе Паули . . . . .	29
2.2.7	Алгебра Паули и композиция операторов . . . . .	30
2.2.8	Вычисление энергии состояния . . . . .	30
2.2.9	Метод имитации отжига (Simulated Annealing) . . . .	31
2.2.10	Визуализация и логирование результата . . . . .	33
2.3	Сравнительные результаты тестирования . . . . .	33
2.3.1	Сравнительный анализ параметров отжига . . . . .	35
	<b>Заключение</b>	<b>36</b>
	<b>Литература</b>	<b>37</b>
	<b>Приложение Python</b>	<b>40</b>

# Введение

В последние годы вариационные квантовые алгоритмы приобретают всё большее значение в современных исследованиях по математическому моделированию и квантовым вычислениям. Особый интерес представляют гибридные квантово-классические методы, в которых оптимизация параметров квантовых схем сочетается с классическими алгоритмами поиска минимума. Такие подходы позволяют эффективно моделировать и исследовать малоразмерные квантовые системы, актуальные для описания новых состояний вещества, включая топологические материалы, а также задач машинного обучения [1, 2, 3, 4].

Вариационными квантовыми алгоритмами называют семейство гибридных квантово-классических алгоритмов для решения квантовых задач оптимизации посредством квантовых вычислений или их классической имитации. Параметрически управляемое квантовое устройство, обычно представленное квантовой цепью, реализует унитарное преобразование стандартного начального состояния  $|0\rangle^{\otimes n}$  или, как вариант, предудущего полученного состояния. На каждом шаге регулирующие параметры подбираются так, чтобы минимизировать целевую функцию. Обычно это выполняется путём измерения энергии состояний, предоставляемых вариационной схемой, и обновления параметров для минимизации целевой функции [5, 6, 7].

Важной прикладной задачей в области вариационных квантовых алгоритмов является поиск основного состояния гамильтониана, что эквивалентно задаче минимизации средней энергии в пространстве квантовых состояний, генерируемых параметризованным анзацем. Сложность алгоритмов прямого вычисления собственных значений гамильтониана растёт экспоненциально с ростом числа кубитов, поэтому для больших систем используются квантовые вариационные методы решения зада-

чи оптимизации [8, 9]. На практике решение такой задачи требует эффективных классических методов оптимизации, устойчивых к наличию большого числа локальных минимумов и не требующих вычисления производных целевой функции. Среди таких методов особое место занимает метод имитации отжига [10, 11], который широко используется в задачах глобальной оптимизации и хорошо адаптируется к вариационным квантовым схемам.

Целью работы является построение вариационного квантового алгоритма с оптимизацией методом имитации отжига для поиска основного состояния гамильтониана квантовой системы и исследование с использованием имитационного моделирования на классическом компьютере.

В рамках исследования были поставлены следующие задачи:

1. Изучить теоретические основы вариационных квантовых алгоритмов, включая формализм базиса Паули, и построение анзаца для многокубитных систем;
2. Разработать и реализовать алгоритм вариационной квантовой оптимизации с использованием метода имитации отжига;
3. Реализовать алгоритм в виде программного модуля на языке Python для практического моделирования процесса вариационной оптимизации;
4. Провести сравнительный анализ эффективности различных параметров отжига и схем построения анзаца.

Объектом исследования является задача минимизации энергии гамильтониана в пространстве состояний, порождённых вариационным анзацем в базисе Паули. Предметом исследования выступает разработка и программная реализация классической компьютерной модели гибридного вариационного квантового алгоритма с классическим оптимизатором по методу имитации отжига.

Диссертационная работа включает две главы, заключение, список литературы и приложение с листингом программы на языке Python для основного алгоритма. В первой главе изложены теоретические основы вариационных квантовых алгоритмов, формализм базиса Паули и вопросы построения параметризованного анзаца. Вторая глава посвящена

описанию метода имитации отжига, его адаптации к задачам квантовой оптимизации и программной реализации алгоритма, а также анализу результатов тестирования. В заключении приведены основные выводы по проделанной работе. Список литературы включает современные публикации российских и зарубежных авторов, посвящённые тематике квантовых вычислений и оптимизации.

В работе везде используется система единиц, в которой постоянная Планка и скорость света равны единице, т.е.  $\hbar = 1$  и  $c = 1$ , что соответствует общепринятому подходу в математическом моделировании и вычислительной физике.

# Глава 1

## Общая схема квантовых вариационных алгоритмов

В квантовой информатике, которая имеет дело с конечномерными гильбертовыми пространствами, применение базиса Паули является общим и эффективным вычислительным подходом [12, 13]

### 1.1 Базис Паули

#### 1.1.1 Связь стандартного базиса и базиса Паули

Рассмотрим квантовую систему из  $n$  кубитов, где каждый кубит связан с двумерным гильбертовым пространством  $\mathcal{H}$  и его эрмитово сопряжённым пространством  $\mathcal{H}^\dagger$ . Обозначим через  $\mathcal{H}_n = \mathcal{H}^{\otimes n}$  и  $\mathcal{H}_n^\dagger = (\mathcal{H}^\dagger)^{\otimes n}$  гильбертово пространство системы и его эрмитово сопряжение соответственно. Пространство линейных операторов, действующих на  $\mathcal{H}$  и  $\mathcal{H}^\dagger$  левым и правым умножением, задаётся как  $L(\mathcal{H}_n) = \mathcal{H}_n \otimes \mathcal{H}_n^\dagger$ . Тогда

$$\dim_{\mathbb{C}} \mathcal{H}_n = \dim_{\mathbb{C}} \mathcal{H}_n^\dagger = 2^n, \quad \dim_{\mathbb{C}} L(\mathcal{H}_n) = 2^{2n}.$$

Пространство  $L(\mathcal{H}_n)$  наделено скалярным произведением Гильберта-Шмидта:

$$\langle \hat{A}, \hat{B} \rangle = \text{tr}(\hat{A}^\dagger \hat{B}), \quad \hat{A}, \hat{B} \in L(\mathcal{H}_n), \quad (1.1)$$



которое естественно продолжает скалярное произведение в  $\mathcal{H}_n$ . Вещественное линейное пространство эрмитовых операторов далее обозначим как  $H(\mathcal{H}_n)$ .

Пусть  $\{|0\rangle, |1\rangle\}$  образуют ортонормированный базис в однокубитном пространстве  $\mathcal{H}$ . Единичная матрица и матрицы Паули задаются как:

$$\sigma_0 = \begin{pmatrix} 1 & 0 \\ 0 & 1 \end{pmatrix}, \sigma_1 = \begin{pmatrix} 0 & 1 \\ 1 & 0 \end{pmatrix}, \sigma_2 = \begin{pmatrix} 0 & -i \\ i & 0 \end{pmatrix}, \sigma_3 = \begin{pmatrix} 1 & 0 \\ 0 & -1 \end{pmatrix},$$

а соответствующие операторы Паули представляются в виде:

$$\begin{aligned} \hat{\sigma}_0 &= |0\rangle\langle 0| + |1\rangle\langle 1|, \quad \hat{\sigma}_1 = |0\rangle\langle 1| + |1\rangle\langle 0|, \\ \hat{\sigma}_2 &= -i|0\rangle\langle 1| + i|1\rangle\langle 0|, \quad \hat{\sigma}_3 = |0\rangle\langle 0| - |1\rangle\langle 1|. \end{aligned}$$

Эти операторы одновременно эрмитовы и унитарны, а также образуют базис в  $\mathcal{H}$ . Обратное преобразование выражается следующим образом:

$$|0\rangle\langle 0| = \frac{\hat{\sigma}_0 + \hat{\sigma}_3}{2}, \quad |0\rangle\langle 1| = \frac{\hat{\sigma}_1 + i\hat{\sigma}_2}{2}, \quad |1\rangle\langle 0| = \frac{\hat{\sigma}_1 - i\hat{\sigma}_2}{2}, \quad |1\rangle\langle 1| = \frac{\hat{\sigma}_0 - \hat{\sigma}_3}{2}.$$

Для  $k, l, m \in \{1, 2, 3\}$  выполняются свойства:  $\text{tr} \hat{\sigma}_k = 0$ ,  $\hat{\sigma}_k^2 = \hat{\sigma}_0$ , а также

$$\hat{\sigma}_k \hat{\sigma}_l = -\hat{\sigma}_l \hat{\sigma}_k, \quad \hat{\sigma}_k \hat{\sigma}_l = i \text{sign}(\pi) \hat{\sigma}_m, \quad (klm) = \pi(123), \quad (1.2)$$

где  $\pi(123)$  — произвольная перестановка множества  $\{1, 2, 3\}$ .

Рассмотрим стандартный<sup>1</sup> бинарный базис в  $\mathcal{H}_n$ , образованный ортонормированными базисами  $\{|0\rangle, |1\rangle\}$  в однокубитных пространствах. Позиция в тензорном произведении позволяет различать кубиты. Для фиксированного  $n$  элементы этого базиса и соответствующие им элементы двумерного базиса удобно записывать как:

$$|k\rangle = |k_1 \dots k_n\rangle = |k_1\rangle \otimes \dots \otimes |k_n\rangle, \quad \langle k| = \langle k_1 \dots k_n| = \langle k_1| \otimes \dots \otimes \langle k_n|,$$

---

<sup>1</sup>Мы избегаем термина «вычислительный», так как он может приводить к неоднозначности. И базис Паули, и стандартный базис являются вычислительными в одинаковом контексте.

где строки  $k_1 \dots k_n$  ( $k_1, \dots, k_n \in \{0, 1\}$ ) интерпретируются как двоичные числа с десятичным представлением  $k$ . Например,  $|101\rangle = |5\rangle$  и  $|00110\rangle = |6\rangle$ .

В стандартном базисе:

$$|u\rangle = \sum_{k=0}^{2^n-1} u_k |k\rangle, \quad \hat{A} = \sum_{k,l=0}^{2^n-1} a_{kl} |k\rangle \langle l|,$$

где  $|u\rangle \in \mathcal{H}_n$  и  $\hat{A} \in L(\mathcal{H}_n)$ .

Базис Паули  $P(\mathcal{H}_n)$  в  $L(\mathcal{H}_n)$  определяется как:

$$\{\hat{\sigma}_{k_1 \dots k_n}\}_{k_1, \dots, k_n \in \{0, 1, 2, 3\}}, \quad \hat{\sigma}_{k_1 \dots k_n} = \hat{\sigma}_{k_1} \otimes \dots \otimes \hat{\sigma}_{k_n}, \quad (1.3)$$

где  $\hat{\sigma}_{0 \dots 0}$  — тождественный оператор. Базис  $P(\mathcal{H}_n)$  содержит  $4^n$  элементов. Для краткости будем использовать обозначение

$$\hat{\sigma}_K = \hat{\sigma}_{k_1 \dots k_n} \quad (1.4)$$

где строка Паули  $k_1 \dots k_n$  ( $k_1, \dots, k_n \in \{0, 1, 2, 3\}$ ) соответствует числу  $K$  в десятичной системе ( $0 \leq K \leq 4^n - 1$ ). Строка Паули  $K$  и элемент  $\hat{\sigma}_K$  взаимно однозначно соответствуют друг другу.

Сравним  $P(\mathcal{H}_n)$  со стандартным базисом. Для элементов базиса Паули выполняются:

$$\hat{\sigma}_{k_1 \dots k_n} \hat{\sigma}_{k_1 \dots k_n} = \hat{\sigma}_{0 \dots 0}, \quad \text{tr } \hat{\sigma}_{0 \dots 0} = 2^n, \quad \text{tr } \hat{\sigma}_{k_1 \dots k_n} \Big|_{k_1 \dots k_n \neq 0 \dots 0} = 0. \quad (1.5)$$

Базис Паули является эрмитовым, унитарным и ортогональным относительно скалярного произведения (1.1). Отметим, что оператор  $|k\rangle \langle l|$  из стандартного базиса не является унитарным или эрмитовым при  $k \neq l$ . Стандартный базис не включает тождественный оператор, который в этом базисе записывается как:

$$\sum_{k=0}^{2^n-1} |k\rangle \langle k|.$$

В базисе Паули любой оператор  $\hat{U}$  из унитарной группы  $U(\mathcal{H}_n)$  (где  $\hat{U}^\dagger \hat{U} = \hat{\sigma}_{0 \dots 0}$ ) раскладывается в виде:

$$\hat{U} = \sum_{i_1, \dots, i_n \in \{0, 1, 2, 3\}} U_{i_1 \dots i_n} \hat{\sigma}_{i_1 \dots i_n}, \quad \hat{U}^\dagger = \sum_{i_1, \dots, i_n \in \{0, 1, 2, 3\}} \bar{U}_{i_1 \dots i_n} \hat{\sigma}_{i_1 \dots i_n},$$

где коэффициенты удовлетворяют условиям:

$$\sum_{i_1, \dots, i_n \in \{0,1,2,3\}} \bar{U}_{i_1 \dots i_n} U_{i_1 \dots i_n} = 1, \quad \sum_{\substack{i_1, \dots, i_n, j_1, \dots, j_n \in \{0,1,2,3\} \\ (i_1, \dots, i_n) \neq (j_1, \dots, j_n)}} \bar{U}_{i_1 \dots i_n} U_{j_1 \dots j_n} = 0.$$

Последнее условие эквивалентно  $2^{2n-1}(2^n - 1)$  независимым соотношениям.

В базисе Паули эрмитовы операторы представляются разложениями с вещественными коэффициентами [12, 13].

### 1.1.2 Коммутационные и антикоммутационные соотношения

Коммутатор определяет взаимодействие операторов при их перестановке. Для операторов  $A$  и  $B$  он задаётся как:

$$[A, B] = AB - BA.$$

Если  $[A, B] = 0$ , операторы коммутируют; в противном случае — нет. В базисе Паули коммутаторы выражаются через символ Леви-Чивиты  $\varepsilon_{ijk}$ :

$$[\sigma_i, \sigma_j] = 2i\varepsilon_{ijk}\sigma_k,$$

где  $\varepsilon_{ijk}$  равен 1 при чётной перестановке индексов  $(i, j, k)$ ,  $-1$  при нечётной и 0 в остальных случаях. Например:

$$[\sigma_1, \sigma_2] = 2i\sigma_3, \quad [\sigma_2, \sigma_3] = 2i\sigma_1.$$

Антикоммутатор характеризует симметричное произведение операторов:

$$\{A, B\} = AB + BA.$$

Если  $\{A, B\} = 0$ , операторы антикоммутируют. Для операторов Паули:

$$\{\sigma_i, \sigma_j\} = 2\delta_{ij},$$

где  $\delta_{ij}$  — символ Кронекера (1 при  $i = j$ , 0 иначе). Примеры:

$$\{\sigma_1, \sigma_2\} = 0, \quad \{\sigma_2, \sigma_3\} = 0.$$

Коммутаторы и антикоммутаторы применяются в квантовой механике для анализа свойств систем (спин электрона, кубиты), в квантовой теории поля (взаимодействия частиц) и квантовых вычислениях (алгоритмы, коррекция ошибок). Коммутаторы помогают определить совместную измеримость наблюдаемых, а антикоммутаторы — описать фермионные системы.

### 1.1.3 Коммутирующие элементы в алгебре Ли группы $SU(2^n)$

Рассмотрим базис Паули и множество строк Паули длины  $n$ :

$$\text{Str}_n = \{K = k_1 \dots k_n\}_{k_1, \dots, k_n \in \{0, 1, 2, 3\}}.$$

1. Множество  $\mathbb{F}_4 = \{0, 1, 2, 3\}$  образует квадгруппу Клейна с умножением:

$$0 \cdot k = k, \quad k \cdot k = 0, \quad k \cdot l = m,$$

где  $k, l, m \in \{1, 2, 3\}$  и  $(klm)$  — произвольная перестановка  $(1\ 2\ 3)$ .

2. Функция  $s : \mathbb{F}_4 \times \mathbb{F}_4 \rightarrow \{1, i, -i\}$  задаётся значениями:

$$\begin{aligned} s(0, 0) = s(0, k) = s(k, 0) = s(k, k) &= 1, \quad k = 1, 2, 3, \\ s(1, 2) = s(2, 3) = s(3, 1) &= i, \quad s(2, 1) = s(3, 2) = s(1, 3) = -i. \end{aligned}$$

3. Функция  $S : \text{Str}_n \times \text{Str}_n \rightarrow \{1, -1, i, -i\}$  определяется как:

$$S_{KL} = s(k_1, l_1) \cdot s(k_2, l_2) \cdot \dots \cdot s(k_n, l_n),$$

где  $K = k_1 k_2 \dots k_n$  и  $L = l_1 l_2 \dots l_n$ .

Симметрия функции  $S$  зависит от числа пар  $(k_r, l_r)$  (на позициях  $r$  в строках  $K$  и  $L$ ), где  $k_r, l_r \in \{1, 2, 3\}$  и  $k_r \neq l_r$ , а также от их взаимного порядка. Пусть  $\omega_{KL}^+$  и  $\omega_{KL}^-$  — количество пар вида  $(1, 2), (2, 3), (3, 1)$  и  $(2, 1), (3, 2), (1, 3)$  соответственно, и  $\omega_{KL} = \omega_{KL}^+ + \omega_{KL}^-$ . Тогда

$$S_{(KL)} = \frac{S_{KL}}{2} (1 + (-1)^{\omega_{KL}}), \quad S_{[KL]} = \frac{S_{KL}}{2} (1 - (-1)^{\omega_{KL}}), \quad (1.6)$$

где

$$S_{KL} = i^{\omega_{KL}} (-1)^{\omega_{KL}^-}.$$

$\omega_{KL} \bmod 4$	0	2	0	2	1	3	1	3
$\omega_{KL}^- \bmod 4$	0	1	1	0	0	1	1	0
$S_{KL}$		1	-1	-1	$i$	$i$	$-i$	$-i$
$S_{(KL)}$	1	1	-1	-1	0	0	0	0
$S_{[KL]}$	0	0	0	0	$i$	$i$	$-i$	$-i$

Таблица 1: Множитель до  $\hat{\sigma}_M$  в (1.7) для  $\hat{\sigma}_K \hat{\sigma}_L$ ,  $\{\hat{\sigma}_K, \hat{\sigma}_L\}$ , и  $[i\hat{\sigma}_K, i\hat{\sigma}_L]$ .

Здесь  $S_{(KL)}$  и  $S_{[KL]}$  — симметричная и антисимметричная части  $S_{KL}$ . Значения  $S_{KL}$ ,  $S_{(KL)}$  и  $S_{[KL]}$  приведены в таблице 2.

Композицию элементов базиса Паули, их антикоммутаторов и коммутаторов можно компактно выразить в виде, удобном для программной реализации:

$$\hat{\sigma}_K \hat{\sigma}_L = S_{KL} \hat{\sigma}_M, \quad \{\hat{\sigma}_K, \hat{\sigma}_L\} = S_{(KL)} \hat{\sigma}_M, \quad [i\hat{\sigma}_K, i\hat{\sigma}_L] = -S_{[KL]} \hat{\sigma}_M, \quad (1.7)$$

где

$$\hat{\sigma}_M = \hat{\sigma}_{m_1 \dots m_n}, \quad m_r = k_r \cdot l_r \quad (r = 1, \dots, n). \quad (1.8)$$

Две строки Паули длины  $n$  могут коммутировать, даже имея ненулевые элементы в одних и тех же позициях. Например, операторы  $\hat{\sigma}_{11}$ ,  $\hat{\sigma}_{22}$  и  $\hat{\sigma}_{33}$  коммутируют друг с другом. Унитарная матрица перехода из стандартного базиса  $\{|i_1 \dots i_n\rangle \langle j_1 \dots j_n|\}$  в базис Паули содержит только элементы 0,  $\pm 1$  и  $\pm i$ . Например:

$$|00 \dots 0\rangle \langle 00 \dots 0| \rightarrow \frac{1}{2^n} \sum_{i_1, \dots, i_n \in \{0,3\}} \hat{\sigma}_{i_1 \dots i_n}.$$

Общее выражение для стандартных ортогональных проекторов имеет вид:

$$|i_1 \dots i_n\rangle \langle i_1 \dots i_n| = \frac{1}{2^n} \sum_{k_1, \dots, k_n \in \{0,3\}} \mathcal{X}_{k_1}^{i_1} \dots \mathcal{X}_{k_n}^{i_n} \hat{\sigma}_{k_1 \dots k_n},$$

где

$$\mathcal{X}_0^0 = \mathcal{X}_3^0 = \mathcal{X}_0^1 = 1, \quad \mathcal{X}_3^1 = -1.$$

Из выражения (1.7) следует, что: 1. Множество  $\{i\hat{\sigma}_K\}_{K=0}^{4^n-1}$  образует ортонормированный базис в  $\mathfrak{su}(2^n)$ . 2. Множество

$$\tilde{P}(\mathcal{H}_n) = \{\epsilon \hat{\sigma}_K \mid K \in \text{Str}_n, \epsilon \in \{\pm 1, \pm i\}\},$$

содержащее  $4^{n+1}$  элементов, образует группу — т.н.  $n$ -кубитную группу Паули.

Нормализатор группы Паули в унитарной группе:

$$\mathcal{C}(\mathcal{H}_n) = \left\{ \hat{U} \in U(\mathcal{H}_n) \mid \hat{U} \hat{\sigma}_K \hat{U}^\dagger \in \tilde{P}(\mathcal{H}_n), \quad \forall \hat{\sigma}_K \in \tilde{P}(\mathcal{H}_n) \right\},$$

называется группой Клиффорда. Исходя из (1.2), (1.5) и (1.8) получаем следующее утверждение

**Утверждение 1.** *Взаимные унитарные преобразования базисных операторов Паули подчиняются соотношениям  $\hat{\sigma}_{i_1 \dots i_n} \hat{\sigma}_{k_1 \dots k_n} \hat{\sigma}_{i_1 \dots i_n} = \pm \hat{\sigma}_{i_1 \dots i_n}$ , где знак плюс стоит тогда и только тогда, когда количество троек  $(i_m k_m i_m)_{m \in \{1, \dots, n\}}$ , удовлетворяют условиям  $i_m \neq k_m$ ,  $i_m \neq 0$ , и  $k_m \neq 0$  четности.*

$l$	0	1	2	3	4	5	6	7
$l_2 l_1 l_0$	000	001	010	011	100	101	110	111
$k_2 k_1 k_0$	011	011	011	011	011	011	011	011
$\bar{l} \wedge k$	011	010	001	000	011	010	001	000
$l \wedge k$	000	001	010	011	000	001	010	011
$l \wedge \bar{k}$	000	000	000	000	100	100	100	100
$\hat{\sigma}_I$	$\hat{\sigma}_{011}$	$\hat{\sigma}_{012}$	$\hat{\sigma}_{021}$	$\hat{\sigma}_{022}$	$\hat{\sigma}_{311}$	$\hat{\sigma}_{312}$	$\hat{\sigma}_{121}$	$\hat{\sigma}_{322}$

Таблица 2: Элементы базиса Паули, возникающие для  $k = 011$ .

## 1.2 Вариационная квантовая оптимизация

Пусть  $\mathcal{H}_n$  — гильбертово пространство квантовой системы, состоящей из  $n$  кубитов,  $\mathcal{S} \subset \mathcal{H}_n$  — пространство векторов состояния (т.е. векторов, нормированных на единицу),  $L(\mathcal{H}_n)$  — алгебра операторов на  $\mathcal{H}_n$  и  $\hat{H} \in L(\mathcal{H}_n)$  — эрмитов оператор. Определим функцию

$$E(|u\rangle) = \langle u | \hat{H} | u \rangle, \quad |u\rangle \in \mathcal{S}. \quad (1.9)$$

В простейшей постановке **квантовой задачи оптимизации** требуется найти вектор состояния, на котором целевая функция (функция стоимости)  $E$  принимает минимальное значение, т.е., в формальной

записи, решить задачу

$$E(|u\rangle) \xrightarrow{|u\rangle \in \mathcal{S}} \min. \quad (1.10)$$

Ниже, для определенности и краткости, будем называть  $\hat{H}$  гамильтонианом системы, а целевую функцию  $E$  — энергией.

Сложность алгоритмов прямого вычисления собственных значений гамильтониана  $\hat{H}$  растет экспоненциально с ростом числа кубитов, поэтому для больших систем используются вариационные методы решения задачи оптимизации (1.10).

Вариационными квантовыми алгоритмами обычно называют такие гибридные квантово-классические алгоритмы, нацеленные на решение квантовых задач оптимизации посредством квантовых вычислений или их классической имитации, которые проводят вариационную настройку параметров квантовой схемы. Параметрически управляемое квантовое устройство, обычно представленное квантовой цепью, реализует анзац, т.е. унитарное преобразование стандартного начального состояния  $|0\rangle^{\otimes n}$  или, как вариант, предудущего полученного состояния. На каждом шаге регулирующие параметры подбираются так, чтобы минимизировать энергию (целевую функцию). Обычно это выполняется путём измерения энергии состояний, предоставляемых вариационной схемой, и обновления параметров для минимизации целевой функции.

В точной математической формулировке сказанное означает, что в функции (1.9) вектор состояния  $|u\rangle$  зависит от набора  $m$  параметров  $\boldsymbol{\theta} = (\theta_1, \dots, \theta_m)$ , которые принимают значения в некоторой связной и односвязной области  $\Omega \in \mathbb{R}^m$ . Вариационная формулировка квантовой задачи оптимизации (1.10) имеет вид

$$E(|u(\boldsymbol{\theta})\rangle) \xrightarrow{\boldsymbol{\theta} \in \Omega} \min, \quad E(|u(\boldsymbol{\theta})\rangle) = \langle u(\boldsymbol{\theta}) | \hat{H} | u(\boldsymbol{\theta}) \rangle. \quad (1.11)$$

Итак, цель вариационного квантового алгоритма — найти такой набор параметров, на котором энергия достигает минимума. Число параметров  $m$  в наборе  $\boldsymbol{\theta} = (\theta_1, \dots, \theta_m)$  зависит от конкретной задачи, в частности, от числа кубитов в квантовом устройстве. Для  $n$  кубитов размерность пространства состояний,  $N = 2^n$ , растет экспоненциально с ростом числа кубитов. Поэтому вариационный квантовый алгоритм должен быть

организован и выполнен так, чтобы выполнялось условие  $m \ll N$ , поскольку в противном случае высокий класс сложности алгоритма сделает его неэффективным с практической точки зрения.

Но наиболее важным вопросом является выбор зависимости вектора состояния  $|u(\boldsymbol{\theta})\rangle$  от параметров. В вариационных квантовых алгоритмах используется *анзац* (унитарное преобразование) вида

$$|u(\boldsymbol{\theta})\rangle = \hat{U}(\boldsymbol{\theta}) |u_0\rangle. \quad (1.12)$$

В общем случае форма анзаца определяет, какими будут параметры  $\boldsymbol{\theta}$  и как их можно настроить для минимизации энергии (целевой функции). Структура анзаца, как правило, будет зависеть от поставленной задачи, так как во многих случаях можно использовать информацию о проблеме, чтобы подобрать анзац: это "анзац, подсказанный задачей". Однако можно построить анзацы достаточно общего вида, которые пригодны для использования в некоторых классах задач даже тогда, когда интуиция и известная информация о задаче не позволяют его уточнить. Две наиболее распространенных формы анзаца рассмотрены в следующем разделе.

## 1.3 Общая схема алгоритма

### 1.3.1 Анзац

В вариационных квантовых алгоритмах анзац (1.12) стандартно выбирается в виде композиции  $m$  последовательно примененных унитарных преобразований

$$\hat{U}(\boldsymbol{\theta}) = \hat{U}_m(\theta_m) \cdots \hat{U}_1(\theta_1). \quad (1.13)$$

В композиции (1.13) выбор операторов определяется типом задачи и технической возможностью их реализации на конкретном квантовом устройстве. Например, можно выбрать

$$\hat{U}_K(\theta_K) = \hat{W}_K \exp(i\theta_K \hat{\sigma}_K) = \hat{W}_K (\cos \theta_K \hat{\sigma}_{0\dots 0} + i \sin \theta_K \hat{\sigma}_K), \quad (1.14)$$

где  $1 \leq K \leq m$ ,  $\hat{\sigma}_K = \hat{\sigma}_{k_1} \otimes \dots \otimes \hat{\sigma}_{k_n}$ ,  $k_1, \dots, k_n \in \{0, 1, 2, 3\}$ ,  $K = k_1 \dots k_n$  (т.е.  $K$  — десятичное представление строки  $k_1 \dots k_n$ , рассматриваемой как число по основанию 4),  $n$  — число кубитов, а  $\hat{W}_K$  — независимый от



параметров унитарный оператор. Как правило, в строке  $k_1 \dots k_n$  только отдельные числа отличны от нуля, так что в тензорном произведении  $\hat{\sigma}_{k_1} \otimes \dots \otimes \hat{\sigma}_{k_n}$  часть операторов являются тождественными.

В другом распространенном варианте операторы в композиции (1.13) имеют вид

$$\hat{U}_K(\theta_K) = \hat{W}_K(e^{i\theta_{k_1}\hat{\sigma}_{k_1}} \otimes \dots \otimes e^{i\theta_{k_n}\hat{\sigma}_{k_n}}), \quad (1.15)$$

где по-прежнему  $1 \leq K \leq m$  и  $K = k_1 \dots k_n$ . Если в (1.14) все операторы  $\hat{W}_K$  могут быть тождественными, то в (1.15), по крайней мере некоторые операторы  $\hat{W}_K$  должны быть запутывающими и, следовательно, как минимум двухкубитными.

Таким образом, анзацы (1.13), (1.14) и (1.15) конкретизируют вариационную квантовую задачу оптимизации (1.11) и (1.12) в отношении параметрической зависимости вектора состояния,

$$|u(\boldsymbol{\theta})\rangle = \hat{U}(\boldsymbol{\theta})|0 \dots 0\rangle,$$

где начальное состояние имеет вид  $|0 \dots 0\rangle = |0\rangle^{\otimes n}$ . Если предположить далее, что мы в состоянии уверенно приготовить начальное состояние, реализовать анзац на физическом устройстве и вычислить значение энергии  $E(|u(\boldsymbol{\theta})\rangle) = \langle u(\boldsymbol{\theta}) | \hat{H} | u(\boldsymbol{\theta}) \rangle$  посредством измерений (с привлечением классического компьютера), то следующий — основной — вопрос можно сформулировать так: как искать параметры, которые обеспечивают глобальный минимум энергии. Этот этап выполняется с помощью классического компьютера, так что вариационный квантовый алгоритм — гибридный квантово-классический алгоритм: параметризованная квантовая схема и измерительный прибор представляют квантовую часть, а алгоритм настройки параметров — классическую.

Опишем кратко наиболее общую схему вариационного квантового алгоритма посредством псевдокода в свободной форме (см. также Рис. 1.1).

### 1.3.2 Алгоритм в псевдокодах

1. Ввод начального вектора параметров  $\boldsymbol{\theta}$ . Полагаем  $\boldsymbol{\theta}_0 = \boldsymbol{\theta}$ .
2. Генерация состояния  $|u(\boldsymbol{\theta})\rangle = \hat{U}(\boldsymbol{\theta})|0\rangle^{\otimes n}$  и случайного вектора  $\delta\boldsymbol{\theta}$ .
3. Вычисление энергии  $E(\boldsymbol{\theta}) = \langle u(\boldsymbol{\theta}) | \hat{H} | u(\boldsymbol{\theta}) \rangle$  с текущим вектором  $\boldsymbol{\theta}$ .

4. Алгоритмический переход к вектору параметров  $\boldsymbol{\theta}_1 = \boldsymbol{\theta} + \delta\boldsymbol{\theta}$ .  
Если  $E(\boldsymbol{\theta}_1) < E(\boldsymbol{\theta})$ , то положим  $\boldsymbol{\theta} = \boldsymbol{\theta}_1$  и запомним  $\boldsymbol{\theta}_0 = \boldsymbol{\theta}_1$ .
5. Условие завершения работы. Если условие выполнено, то выходим с результатом  $|u(\boldsymbol{\theta}_0)\rangle$  и  $E(\boldsymbol{\theta}_0)$ . Иначе переходим к метке 2.

Переход к новому вектору параметров  $\boldsymbol{\theta}_1$  является вторым ключевым пунктом (после выбора анзаца), который характеризует различные типы вариационных квантовых алгоритмов. Условие завершения работы может быть выбрано очень многими способами. Простейшим и одновременно универсальным является условие отсутствия понижения энергии в течение определенного числа циклов работы алгоритма.

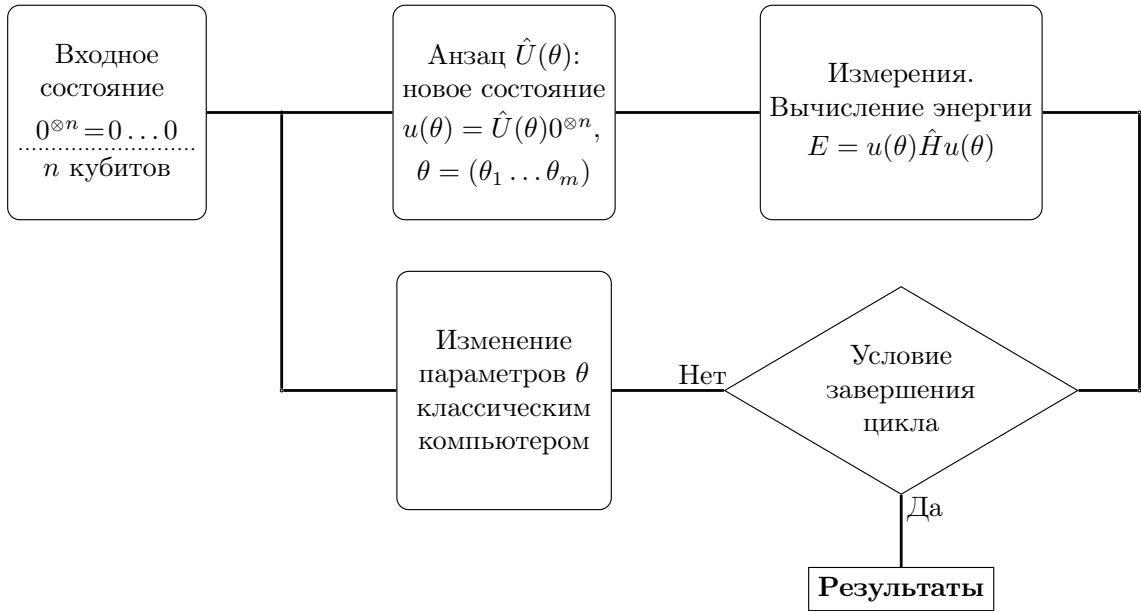


Рис. 1.1: Общая схема квантового вариационного алгоритма. Более подробная блок-схема алгоритма представлена на Рис. 2.1

## 1.4 Пример, иллюстрирующий особенности алгоритма

Для иллюстрации алгоритма рассмотрим гамильтониан

$$\hat{H} = 2\hat{\sigma}_{03} + \hat{\sigma}_{30} - 4\hat{\sigma}_{11}, \quad (1.16)$$

который в стандартном базисе  $\{|00\rangle, |01\rangle, |10\rangle, |11\rangle\}$  имеет матрицу

$$H = \begin{pmatrix} 3 & 0 & 0 & -4 \\ 0 & -1 & -4 & 0 \\ 0 & -4 & 1 & 0 \\ -4 & 0 & 0 & -3 \end{pmatrix}.$$

Используя систему Maple находим собственные значения и собственные состояния в порядке возрастания собственных значений, начиная с основного состояния  $|u_0\rangle$  с собственным значением  $E_0$ :

$$E_0 = -5, \quad |u_0\rangle = \frac{1}{\sqrt{5}} |00\rangle + \frac{2}{\sqrt{5}} |11\rangle, \quad (1.17)$$

$$E_1 = -\sqrt{17}, \quad |u_1\rangle = \frac{\sqrt{17}+1}{\sqrt{34+2\sqrt{17}}} |01\rangle + \frac{\sqrt{8}}{\sqrt{17+\sqrt{17}}} |10\rangle, \quad (1.18)$$

$$E_2 = \sqrt{17}, \quad |u_1\rangle = -\frac{\sqrt{17}-1}{\sqrt{34-2\sqrt{17}}} |01\rangle + \frac{\sqrt{8}}{\sqrt{17-\sqrt{17}}} |10\rangle, \quad (1.19)$$

$$E_3 = 5, \quad |u_3\rangle = -\frac{2}{\sqrt{5}} |00\rangle + \frac{1}{\sqrt{5}} |11\rangle. \quad (1.20)$$

Рассмотрим далее пошаговое выполнение вариационного квантового алгоритма, который позволяет найти состояние, близкое к основному.

*Первый шаг — выбор анзаца*, т.е. унитарного преобразования  $\hat{U}(\boldsymbol{\theta})$ . В гамильтониан (1.16) не входят операторы вида  $\hat{\sigma}_{k2}$  и  $\hat{\sigma}_{k2}$  с  $k \neq 2$ , поэтому имеет смысл сразу выбирать анзац так, чтобы при действии на  $k \neq 2$  он давал вектор состояния с вещественными коэффициентами. Других наводящих соображений относительно формы анзаца не видно, поэтому следует рассмотреть разные варианты. В общем случае вектор параметров  $\boldsymbol{\theta}$  четырехмерен. В простейшем варианте анзац с четырехмерным вектором параметров  $\boldsymbol{\theta} = (\xi, \lambda, \mu, \nu)$  можно выбирать как композицию экспонент

$$\hat{U}(\boldsymbol{\theta}) = e^{i\xi\hat{\sigma}_{02}} e^{i\lambda\hat{\sigma}_{03}} e^{i\mu\hat{\sigma}_{30}} e^{i\nu\hat{\sigma}_{11}} \quad (1.21)$$

операторов Паули, присутствующих в гамильтониане (1.16). Вычислим

вначале

$$\begin{aligned}
e^{i\mu\hat{\sigma}_{30}}e^{i\nu\hat{\sigma}_{11}}|00\rangle &= (\cos\mu\hat{\sigma}_{00} + i\sin\mu\hat{\sigma}_{30})(\cos\nu|00\rangle + i\sin\nu|11\rangle) \\
&= \cos\mu\cos\nu|00\rangle - \sin\mu\sin\nu|11\rangle + i\sin\mu\cos\nu|00\rangle + i\cos\mu\sin\nu|11\rangle \\
&= e^{i\mu}\cos\nu|00\rangle + ie^{i\mu}\sin\nu|11\rangle = e^{i\mu}\cos\nu|00\rangle + e^{i(\mu+\pi/2)}\sin\nu|11\rangle.
\end{aligned}$$

Действуя на результат оператором  $e^{i\lambda\hat{\sigma}_{03}}$ , получим следующий промежуточный вектор состояния:

$$\begin{aligned}
e^{i\lambda\hat{\sigma}_{03}}e^{i\mu\hat{\sigma}_{30}}e^{i\nu\hat{\sigma}_{11}}|00\rangle &= e^{i\mu}\cos\nu(\cos\lambda\hat{\sigma}_{00} + i\sin\lambda\hat{\sigma}_{03})|00\rangle \\
&\quad + e^{i(\mu+\pi/2)}\sin\nu(\cos\lambda\hat{\sigma}_{00} + i\sin\lambda\hat{\sigma}_{03})|11\rangle \\
&= e^{i\mu}\cos\nu(\cos\lambda + i\sin\lambda)|00\rangle + e^{i(\mu+\pi/2)}\sin\nu(\cos\lambda + i\sin\lambda)|11\rangle \\
&= e^{i(\mu+\lambda)}\cos\nu|00\rangle + e^{i(\mu+\pi/2-\lambda)}\sin\nu|11\rangle. \quad (1.22)
\end{aligned}$$

Очевидно, что этот анзац не является универсальным.

Варьируя параметры  $\lambda, \mu, \nu$ , можно получить основное состояние (1.17) с точностью до несущественного множителя  $e^{i(\mu+\pi/4)}$ , например, при

$$\lambda = \pi/4, \quad \mu \in \mathbb{R}, \quad \cos\nu = 1/\sqrt{5}, \quad \sin\nu = 2/\sqrt{5}. \quad (1.23)$$

Здесь  $\mu$  — любое, поэтому к нужному результату приводит более простой анзац (при  $\mu = 0$ )  $\hat{U}(\boldsymbol{\theta}) = e^{i\lambda\hat{\sigma}_{03}}e^{i\nu\hat{\sigma}_{11}}$ , однако заранее это нам не известно. Более того основное состояние (1.17) можно достигнуть (что заранее также неизвестно и неочевидно) даже однопараметрическим анзацем

$$e^{i\nu\hat{\sigma}_{12}}|00\rangle = (\cos\nu\hat{\sigma}_{00} + i\sin\nu\hat{\sigma}_{12})|00\rangle = \cos\nu|00\rangle + \sin\nu|11\rangle,$$

с теми же значениями  $\cos\nu$  и  $\sin\nu$ , что и в (1.23).

Действуя на (1.22) оператором  $e^{i\xi\hat{\sigma}_{02}}$ , получим вектор состояния

$$\begin{aligned}
|\Phi\rangle &= \hat{U}(\boldsymbol{\theta})|00\rangle \\
&= (\cos\xi\hat{\sigma}_{00} + i\sin\xi\hat{\sigma}_{02})(e^{i(\mu+\lambda)}\cos\nu|00\rangle + e^{i(\mu+\pi/2-\lambda)}\sin\nu|11\rangle) \\
&= e^{i(\mu+\lambda)}\sin\xi\cos\nu|01\rangle - e^{i(\mu+\pi/2-\lambda)}\sin\xi\sin\nu|10\rangle \\
&\quad + e^{i(\mu+\lambda)}\cos\xi\cos\nu|00\rangle + e^{i(\mu+\pi/2-\lambda)}\cos\xi\sin\nu|11\rangle, \quad (1.24)
\end{aligned}$$

который зависит от четырех параметров. Из формы данного вектора видно, что анзац (1.21) универсален (с учетом замечания о вещественности коэффициентов, сделанного выше). Основное состояние достигается при произвольном  $\mu \in \mathbb{R}$  и

$$\xi = 0, \lambda = \{\pi/4, 7\pi/4\}, \cos\nu = 1/\sqrt{5}, \sin\nu = \{2/\sqrt{5}, -2/\sqrt{5}\} \quad (1.25)$$

или

$$\xi = \pi, \lambda = \{\pi/4, 7\pi/4\}, \cos\nu = -1/\sqrt{5}, \sin\nu = \{-2/\sqrt{5}, 2/\sqrt{5}\}. \quad (1.26)$$

Для сокращения записи имеет смысл освободиться в (1.24) от фазового множителя и записать вектор состояния в виде

$$\begin{aligned} |\Phi\rangle = \sin\xi \big( \cos\nu |01\rangle - e^{i(\pi/2-2\lambda)} \sin\nu |10\rangle \big) \\ + \cos\xi \big( \cos\nu |00\rangle + e^{i(\pi/2-2\lambda)} \sin\nu |11\rangle \big) \end{aligned} \quad (1.27)$$

*Второй шаг — вычисление энергии состояния*, т.е. среднего значения  $\langle\Phi|\hat{H}|\Phi\rangle$ . Заметим, что первый и второй шаги должны выполняться на квантовых устройствах, а при классической симуляции алгоритма необходимо проводить явные вычисления. Из (1.16) и (1.27) находим

$$\begin{aligned} \hat{H}|\Phi\rangle = \sin\xi \big( 2\hat{\sigma}_{03} + \hat{\sigma}_{30} - 4\hat{\sigma}_{11} \big) \big( \cos\nu |01\rangle - e^{i(\pi/2-2\lambda)} \sin\nu |10\rangle \big) \\ + \cos\xi \big( 2\hat{\sigma}_{03} + \hat{\sigma}_{30} - 4\hat{\sigma}_{11} \big) \big( \cos\nu |00\rangle + e^{i(\pi/2-2\lambda)} \sin\nu |11\rangle \big) \\ = \sin\xi \left\{ \left( 4e^{i(\pi/2-2\lambda)} \sin\nu - \cos\nu \right) |01\rangle \right. \\ \left. - \left( e^{i(\pi/2-2\lambda)} \sin\nu + 4\cos\nu \right) |10\rangle \right\} \\ + \cos\xi \left\{ \left( 3\cos\nu - 4e^{i(\pi/2-2\lambda)} \sin\nu \right) |00\rangle \right. \\ \left. - \left( 4\cos\nu + 3e^{i(\pi/2-2\lambda)} \sin\nu \right) |11\rangle \right\}. \end{aligned}$$

Поскольку

$$\begin{aligned} \langle\Phi| = \sin\xi \big( \cos\nu \langle 01| - e^{-i(\pi/2-2\lambda)} \sin\nu \langle 10| \big) \\ + \cos\xi \big( \cos\nu \langle 00| + e^{-i(\pi/2-2\lambda)} \sin\nu \langle 11| \big), \end{aligned}$$

то

$$\begin{aligned}
E_{\Phi} &= \langle \Phi | \hat{H} | \Phi \rangle \\
&= \sin^2 \xi \left\{ \cos \nu (4e^{i(\pi/2-2\lambda)} \sin \nu - \cos \nu) \right. \\
&\quad \left. + \sin \nu (\sin \nu + 4e^{-i(\pi/2-2\lambda)} \cos \nu) \right\} \\
&\quad + \cos^2 \xi \left\{ \cos \nu (3 \cos \nu - 4e^{i(\pi/2-2\lambda)} \sin \nu) \right. \\
&\quad \left. - \sin \nu (4e^{-i(\pi/2-2\lambda)} \cos \nu + 3 \sin \nu) \right\} \\
&= \sin^2 \xi (4 \sin 2\lambda \sin 2\nu - \cos 2\nu) + \cos^2 \xi (3 \cos 2\nu - 4 \sin 2\lambda \sin 2\nu). \quad (1.28)
\end{aligned}$$

Разумеется, если взять значения  $\xi$ ,  $\lambda$ ,  $\cos \nu$ ,  $\sin \nu$  как в (1.25) или в (1.26), то мы получим энергию основного состояния (1.17), т.е.  $E_{\Phi} = -5$ .

*Третий шаг — изменение значений параметров  $\lambda, \mu, \nu$  (с целью минимизации  $E_{\Phi}$ ) и возвращение к первому шагу; предполагается, что в начале выполнения алгоритма начальные значения параметров заданы. Из (1.28) видно, что на значение  $E_{\Phi}$  параметр  $\mu$  не влияет, а параметры  $\lambda, \nu$  должны варьироваться в области  $[0, \pi] \times [0, \pi]$ . Однако изначально это неизвестно, поэтому все четыре параметра должны варьироваться в области  $[0, 2\pi] \times [0, 2\pi] \times [0, 2\pi] \times [0, 2\pi]$ . Имеет смысл установить независимость энергии от параметра  $\mu$  (и ее зависимость от остальных параметров) в начале работы алгоритма.*

Мы уже знаем, что глобальный минимум энергии достигается для четырех наборов параметров (1.25) и (1.26). Соответствующие собственные векторы, вычисленные по выражению (1.27) отличаются от (1.17) только фазовыми множителями. Теперь необходимо выяснить, имеются ли у функции (трех переменных) (1.28) другие локальные минимумы.

Используя систему Maple, вычислим производные

$$\begin{aligned}
&\partial_{\xi} E_{\Phi}, \quad \partial_{\lambda} E_{\Phi}, \quad \partial_{\nu} E_{\Phi}, \\
&A = \partial_{\xi}^2 E_{\Phi}, \quad B = \partial_{\lambda}^2 E_{\Phi}, \quad C = \partial_{\nu}^2 E_{\Phi}, \\
&K = \partial_{\xi\lambda} E_{\Phi}, \quad L = \partial_{\xi\nu} E_{\Phi}, \quad M = \partial_{\lambda\nu} E_{\Phi}.
\end{aligned}$$

Находим

$$\begin{aligned}
\partial_\xi E_\Phi &= 4 \sin 2\xi (2 \sin 2\lambda \sin 2\nu - \cos 2\nu), \\
\partial_\lambda E_\Phi &= -8 \cos 2\xi \cos 2\lambda \sin 2\nu, \\
\partial_\nu E_\Phi &= \sin^2 \xi (8 \sin 2\lambda \cos 2\nu + 2 \sin 2\nu) - \cos^2 \xi (6 \sin 2\nu + 8 \sin 2\lambda \cos 2\nu), \\
A &= 8 \cos 2\xi (2 \sin 2\lambda \sin 2\nu - \cos 2\nu), \\
B &= 16 \cos 2\xi \sin 2\lambda \sin 2\nu, \\
C &= 4 \cos^2 \xi (4 \sin 2\lambda \sin 2\nu - 3 \cos 2\nu) - 4 \sin^2 \xi (4 \sin 2\lambda \sin 2\nu - \cos 2\nu), \\
K &= 16 \sin 2\xi \cos 2\lambda \sin 2\nu, \\
L &= 4 \sin 2\xi (4 \sin 2\lambda \cos 2\nu + 2 \sin 2\nu), \\
M &= -16 \cos 2\xi \cos 2\lambda \cos 2\nu.
\end{aligned}$$

Необходимые и достаточные условия минимума имеют вид

$$\begin{aligned}
&\partial_\xi E_\Phi = 0, \quad \partial_\lambda E_\Phi = 0, \quad \partial_\nu E_\Phi = 0, \\
&A > 0, \quad \det \begin{pmatrix} A & K \\ K & B \end{pmatrix} > 0, \quad \det \begin{pmatrix} A & K & L \\ K & B & M \\ L & M & C \end{pmatrix} > 0.
\end{aligned}$$

Снова проводя вычисления с помощью системы Maple, обнаруживаем четыре точки локального минимума с энергией  $E_\Phi = -\sqrt{17}$ :

$$\begin{aligned}
\xi &= \frac{\pi}{2}, & \lambda &= \frac{\pi}{4}, & \nu &= \pi - \frac{1}{2} \arctan(4), \\
\xi &= \frac{\pi}{2}, & \lambda &= \frac{\pi}{4}, & \nu &= 2\pi - \frac{1}{2} \arctan(4), \\
\xi &= \frac{\pi}{2}, & \lambda &= \frac{3\pi}{4}, & \nu &= \frac{1}{2} \arctan(4), \\
\xi &= \frac{\pi}{2}, & \lambda &= \frac{3\pi}{4}, & \nu &= \pi + \frac{1}{2} \arctan(4).
\end{aligned}$$

Таким образом, в процессе оптимизации целевой функции должны использоваться методы, которые позволяют избежать попадания в точку локального минимума, например, метод отжига.

## Глава 2

# Вариационный квантовый алгоритм и метод отжига

### 2.1 Метод отжига

Метод отжига или, подробнее, метод имитации отжига относится к семейству методов Монте-Карло, разработанных для поиска *глобального* минимума целевой функции. Этот метод обладает одним существенным преимуществом по сравнению с аналитическими методами оптимизации: он применим к целевым функциям произвольной природы. Особенно важно то, что метод отжига полностью сохраняет свою эффективность в задачах, где целевая функция не дифференцируема и при этом имеет большое число локальных минимумов. По этой причине, метод отжига, как фундаментальная концепция в теории глобальной оптимизации, широко используется в квантовых вычислениях, особенно в вариационных квантовых алгоритмах (в их квантовой реализации, а не классической эмуляции), где вычисление целевой функции не обладает достаточной точностью. Основная идея метода заключается в постепенном снижении "температуры" системы, чтобы достичь состояния с минимальным значением целевой функции (далее, для краткости, энергии) [10, 11]. В этом разделе подробно рассматривается классический вариант отжига и детали его практического применения.

Классический метод отжига основывается на аналогии с физическим процессом термического отжига, при котором материал медленно охла-



ждается, чтобы избежать образования дефектов и достичь состояния минимальной энергии. Математическое обоснование метода связано с распределением Больцмана, которое описывает вероятность состояния системы при заданной температуре  $T$  формулой

$$p(x) = \frac{1}{Z(T)} \exp \left( -\frac{E(x)}{k_B T} \right),$$

в которой  $E(x)$  — энергия состояния  $x$ ,  $k_B$  — постоянная Больцмана, а  $Z(T)$  — статистическая сумма. Процесс отжига является дискретным и моделирует систему, которая на каждом шаге может переходить между состояниями  $x$  и  $y$  с вероятностью, которая зависит от разности энергий  $\Delta E = E(y) - E(x)$ :

$$p(x \rightarrow y) = \min \left( 1, \exp \left( -\frac{\Delta E}{k_B T} \right) \right). \quad (2.1)$$

С вероятностью  $1 - p(x \rightarrow y)$  состояние системы не изменяется.

### 2.1.1 Список данных

В самом общем случае в абстрактную математическую постановку задачи оптимизации методом отжига входят следующие данные.

1. Множество состояний  $C$ .
2. Энергия (целевая функция)  $E : C \rightarrow \mathbf{R}$ .
3. Семейство  $Rnd = \{R_s\}_{s \in J}$  отображений  $R_s : C \rightarrow C$ , где множество индексов  $J$ , вообще говоря, не счетно.
4. Начальная температура  $T$ , минимальная температура  $T_{min}$  и закон ее понижения  $T_k \rightarrow T_{k+1} = F(T_k, k)$ , где  $k$  — шаг процесса отжига.

Практическая реализация имитации отжига обычно осуществляется посредством последовательности конечного числа шагов — случайных испытаний. Каждое испытание состоит, во-первых, из случайного выбора некоторого отображения  $R_s \in Rnd$ , задающего переход  $x \rightarrow y = R_s(x)$ , т.е. этот переход выбирается случайным образом из некоторого семейства

возможностей. В зависимости от типа задачи вероятностное распределение (вероятностная мера) на  $Rnd$  выбирается в достаточно широком диапазоне (нормальное распределение, распределение Коши, равномерное распределение и т.д.). Такое распределение, в свою очередь, может зависеть от температуры.

Во-вторых, с помощью генератора псевдослучайных чисел выбирается значение  $\varepsilon$  равномерно распределенной на интервале  $(0, 1)$  случайной величины. Если выполнено условие

$$\varepsilon < \exp \frac{E(x) - E(y)}{k_B T},$$

то переход  $x \rightarrow y$  принимается даже если энергия нового состояния,  $E(y)$ , больше, чем энергия  $E(x)$  предыдущего состояния. В противном случае, когда  $E(y) \leq E(x)$ , данное условие выполняется. Такой способ перехода предохраняет от попадания в локальный минимум, в особенности, если процедуру отжига повторять несколько раз. Наконец, в третьих, на каждом шаге производится понижение температуры в соответствии с некоторым правилом. Постепенное уменьшение температуры приводит к уменьшению вероятности перехода в состояния с более высокой энергией, в то время как система стремится к состоянию глобального минимума энергии.

## 2.2 Алгоритм

### 2.2.1 Краткое описание алгоритма

В задачах квантовой оптимизации в системе из  $n$  кубитов множество состояний  $C$ , входящее в *Список данных* из предыдущего раздела 2.1, является подмножеством в пространстве состояний системы  $\mathcal{H}_n$ . Оно возникает в результате применения параметризованного анзаца  $\hat{U}(\boldsymbol{\theta})$  к начальному состоянию  $|0 \dots 0\rangle = |0\rangle^{\otimes n}$ , так что  $|u(\boldsymbol{\theta})\rangle = \hat{U}(\boldsymbol{\theta}) |0\rangle^{\otimes n}$ , где

$$\boldsymbol{\theta} = (\theta_1, \dots, \theta_m) \in \Omega = [0, 2\pi]^m.$$

Таким образом,  $|u(\boldsymbol{\theta})\rangle \in C$  — это функция на пространстве параметров  $\Omega$  со значениями в  $\mathcal{H}_n$ ; при этом  $C$  не является подпространством в  $\mathcal{H}_n$ .

Энергия (целевая функция на  $\Omega$ ) из *Списка данных*, п. 2, определяется выражением  $E(\boldsymbol{\theta}) = \langle u(\boldsymbol{\theta}) | \hat{H} | u(\boldsymbol{\theta}) \rangle$ .

В предлагаемом алгоритме выбор отображения из семейства *Rnd* (*Список данных*, п. 3) равновероятен в отношении любого отображения в следующем смысле. С помощью генератора псевдослучайных чисел выбирается  $m$  значений  $\varepsilon_i \in (0, 1)$ ,  $i = 1, \dots, m$  случайной величины, равномерно распределенной на данном интервале, а затем формируется случайный вектор

$$\delta\boldsymbol{\theta} = (\delta\theta_1, \dots, \delta\theta_m) \in \Omega, \quad \delta\theta_i = \varepsilon_i \pi.$$

Отображение  $R_{\delta\boldsymbol{\theta}}: C \rightarrow C$  определяется формулой  $|u(\boldsymbol{\theta})\rangle \mapsto |u(\boldsymbol{\theta} + \delta\boldsymbol{\theta})\rangle$ , где вектор  $\boldsymbol{\theta} + \delta\boldsymbol{\theta}$  берется по модулю  $2\pi$ . Далее производим понижение температуры (*Список данных*, п. 4) по простейшей схеме равномерного уменьшения ее значения на каждом шаге процесса отжига  $T_{k+1} = T_k - \tau$ , где выбор значения  $\tau$  производится на основе численных экспериментов с конкретной задачей.

### 2.2.2 Квантовая оптимизация методом отжига

Краткая формулировка алгоритма на уровне псевдокода выглядит следующим образом [10, 11].

1. Вводим начальный вектор  $\boldsymbol{\theta} \in \Omega$ , минимальную температуру  $T_{min}$ , текущую температуру  $T > T_{min}$  и значение  $\tau$ . Положим  $\boldsymbol{\theta}_0 = \boldsymbol{\theta}$ .
2. Генерируем состояние  $|u(\boldsymbol{\theta})\rangle$  и вычисляем энергию  $E(\boldsymbol{\theta})$  при текущей температуре  $T$ .
3. Генерируем случайный вектор  $\delta\boldsymbol{\theta} \in \Omega$ ,  $\boldsymbol{\theta}_1 = \boldsymbol{\theta} + \delta\boldsymbol{\theta} \pmod{2\pi}$ . Вычисляем энергию  $E(\boldsymbol{\theta}_1)$ .
4. Если  $E(\boldsymbol{\theta}_1) \leq E(\boldsymbol{\theta})$ , то полагаем  $\boldsymbol{\theta} = \boldsymbol{\theta}_1$  и  $\boldsymbol{\theta}_0 = \boldsymbol{\theta}_1$ . Иначе генерируем  $\varepsilon \in (0, 1)$  и если  $\varepsilon < \exp\{[E(\boldsymbol{\theta}) - E(\boldsymbol{\theta}_1)]/T\}$ , то полагаем  $\boldsymbol{\theta} = \boldsymbol{\theta}_1$ .
5. Понижаем температуру:  $T \mapsto T - \tau$ .
6. Если  $T > T_{min}$ , то переходим к метке 2. Иначе выходим с результатом  $|u(\boldsymbol{\theta}_0)\rangle$  и  $E(\boldsymbol{\theta}_0)$ .

Теперь рассмотрим программную реализацию вариационного квантового алгоритма с оптимизацией методом отжига.

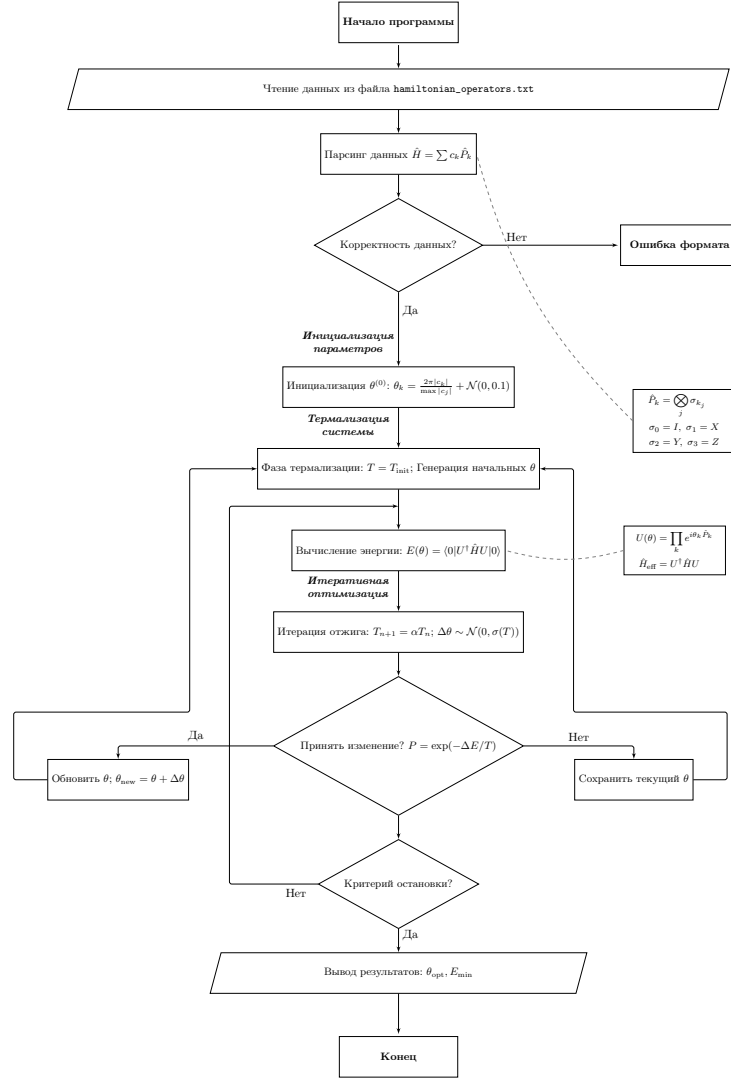


Рис. 2.1: Подробная блок-схема квантового вариационного алгоритма

### 2.2.3 Общая структура программного кода

Разработанная программа реализует вариационный квантовый алгоритм с классическим оптимизатором на основе метода имитации отжига (simulated annealing). На вход подаётся гамильтониан в базисе Паули, после чего осуществляется поиск минимума энергии в пространстве параметризованных квантовых состояний, генерируемых вариационным анзацем. Программа построена модульно и позволяет последовательно:

1. Прочитать описание гамильтониана из текстового файла;
2. Построить вариационный анзац в виде произведения экспонент Паули-операторов;

3. Численно вычислить энергию состояния  $E(\boldsymbol{\theta})$ ;
4. Найти минимум энергии методом отжига;
5. Вывести подробную информацию о найденном состоянии и параметрах анзаца.

## 2.2.4 Описание гамильтониана

Гамильтониан  $\hat{H}$  вводится в виде линейной комбинации операторов Паули

$$\hat{H} = \sum_{K \in \mathcal{T}} h_K \hat{\sigma}_K, \quad (2.2)$$

где  $K = k_1 \dots k_n$  — строка Паули (см. определения (1.3) и (1.4)), набор индексов  $\mathcal{T}$  — множество строк Паули (или, что равносильно, их десятичных представлений), а  $h_K$  — действительные числа.

В файле `hamiltonian_operators.txt` каждая строка имеет вид

[действительная часть] [мнимая часть] [строка Паули]

Например, строка `2.0 0.0 03` задаёт слагаемое  $2.0 \cdot \sigma_0 \otimes \sigma_3$ .

## 2.2.5 Загрузка гамильтониана

Для загрузки и парсинга гамильтониана используется функция

```

1 def read_hamiltonian_data(file_path):
2     lines = read_file_lines(file_path, ignore_comments=False)
3     pauli_operators = []
4     pauli_strings = []
5     for line in lines:
6         parts = line.strip().split()
7         if len(parts) == 3:
8             real_part, imag_part, index_str = (
9                 float(parts[0]),
10                float(parts[1]),
11                str(parts[2]),
12            )
13             coefficient = np.complex128(real_part + imag_part * 1j)
14             index_list = [int(c) for c in index_str]
15             if coefficient != 0:
16                 pauli_operators.append((coefficient, index_list))

```

```

17         pauli_strings.append(index_list)
18     return pauli_operators, pauli_strings

```

## 2.2.6 Вариационный анзац в базисе Паули

Анзац реализован в виде произведения операторов Паули, параметризованных углами  $\theta$ :

$$\hat{U}(\theta) = \prod_{j=1}^m \exp\left(i\theta_j \cdot \|c_j\| \cdot \hat{\sigma}_{K_j}\right) \quad (2.3)$$

где  $\hat{\sigma}_{K_j}$  — базисные операторы Паули, входящие в гамильтониан, а  $c_j$  — соответствующие коэффициенты. Для разложения экспоненты используется формула Эйлера

$$\exp(i\alpha\hat{\sigma}) = \cos\alpha \cdot I + i\sin\alpha \cdot \hat{\sigma}. \quad (2.4)$$

Реализация разложения анзаца по базису Паули:

```

1 def calculate_ansatz(
2     theta: np.ndarray, pauli_operators: List[Tuple[complex, List[int]]]
3 ) -> Tuple[Dict[Tuple[int, ...], complex], str, str]:
4     operator_length = len(pauli_operators[0][1])
5     result = {tuple([0] * operator_length): 1.0}
6     for t, (coeff, op) in zip(theta, pauli_operators):
7         angle = t * abs(coeff)
8         cos_t = np.cos(angle)
9         sin_t = np.sin(angle)
10        new_result = {}
11        op_tuple = tuple(op)
12        for existing_op, existing_coeff in result.items():
13            new_result[existing_op] = (
14                new_result.get(existing_op, 0) + existing_coeff * cos_t
15            )
16            compose_coeff, compose_op = pauli_compose(existing_op,
17                op_tuple)
18            final_coeff = existing_coeff * 1j * sin_t * compose_coeff
19            new_result[compose_op] = new_result.get(compose_op, 0) +
20                final_coeff
21        result = new_result
22    symbolic_str, numeric_str = format_ansatz(pauli_operators, result)
23    return result, symbolic_str, numeric_str

```

## 2.2.7 Алгебра Паули и композиция операторов

Композиция двух операторов Паули  $\hat{\sigma}_K, \hat{\sigma}_L$  реализуется покубитно согласно формулам (1.2), которые можно представить таблицей умножения

$$\hat{\sigma}_i \hat{\sigma}_j = \begin{cases} \hat{\sigma}_0 & \text{если } i = j \\ \hat{\sigma}_j & \text{если } i = 0 \\ \hat{\sigma}_i & \text{если } j = 0 \\ i \operatorname{sign}(\pi) \hat{\sigma}_k & \text{если } (ijk) = \pi(123), \end{cases} \quad (2.5)$$

где  $i, j, k \in \{0, 1, 2, 3\}$ ,  $\pi$  — перестановка.

Программная реализация:

```

1 def multiply_pauli(i: int, j: int) -> Tuple[complex, int]:
2     if i == j:
3         return (1, 0)
4     if i == 0:
5         return (1, j)
6     if j == 0:
7         return (1, i)
8     return PAULI_MAP.get((i, j), (1, 0))
9
10 def pauli_compose(s1: tuple, s2: tuple) -> Tuple[complex, tuple]:
11     coefficient = 1.0
12     result = []
13     for a, b in zip(s1, s2):
14         coeff, idx = multiply_pauli(a, b)
15         coefficient *= coeff
16         result.append(idx)
17     return coefficient, tuple(result)

```

## 2.2.8 Вычисление энергии состояния

Энергия состояния для текущего набора параметров  $\theta$  вычисляется как математическое ожидание гамильтониана в состоянии  $|u(\theta)\rangle$ :

$$E(\theta) = \langle 0 | \hat{U}^\dagger(\theta) \hat{H} \hat{U}(\theta) | 0 \rangle \quad (2.6)$$

Реализация последовательной композиции операторов  $U^\dagger H U$  и вычисления среднего значения:

```

1 def compute_uhu(
2     u_dict: Dict[Tuple[int, ...], complex], h_terms:
3     List[Tuple[complex, List[int]]]
4 ) -> Dict[Tuple[int, ...], complex]:
5     uhu_dict = {}
6     for coeff_h, op_h in h_terms:
7         op_h_tuple = tuple(op_h)
8         for j_op, j_coeff in u_dict.items():
9             conj_j_coeff = np.conj(j_coeff)
10            c1, op_uh = pauli_compose(j_op, op_h_tuple)
11            for k_op, k_coeff in u_dict.items():
12                c2, op_uhu = pauli_compose(op_uh, k_op)
13                total_coeff = conj_j_coeff * k_coeff * coeff_h * c1 * c2
14                uhu_dict[op_uhu] = uhu_dict.get(op_uhu, 0) + total_coeff
15    return uhu_dict
16
17 def calculate_expectation(uhu_dict: Dict[Tuple[int, ...], complex]) ->
18 float:
19     expectation = 0.0
20     for op, coeff in uhu_dict.items():
21         if all(p in (0, 3) for p in op):
22             expectation += coeff.real
23     return expectation

```

Вклад в среднее значение дают только те операторы Паули, которые не изменяют состояние  $|0\dots 0\rangle$ , то есть состоящие только из  $I$  и  $Z$  на каждом кубите.

## 2.2.9 Метод имитации отжига (Simulated Annealing)

Поиск глобального минимума осуществляется методом имитации отжига, который повторяет физический процесс медленного охлаждения системы. На каждом шаге генерируется новое состояние  $\theta' = \theta + \delta\theta$  с малым случайным возмущением, и принимается по правилу Метрополиса

$$P_{\text{accept}} = \begin{cases} 1, & \text{если } E(\theta') < E(\theta) \\ \exp\left(-\frac{E(\theta') - E(\theta)}{T}\right), & \text{иначе,} \end{cases} \quad (2.7)$$

с тем отличием от алгоритма Метрополиса, что температура также понижается на каждом шаге. В данной работе температура  $T$  постепенно понижается по закону  $T_{k+1} = \alpha T_k$ , где  $0 < \alpha < 1$ . Оптимальный выбор



максимальной температуры и коэффициента  $\alpha$  производится на основе численных экспериментов.

Реализация основного цикла отжига:

```
1 def simulated_annealing(  
2     initial_theta: np.ndarray,  
3     pauli_operators: List[Any],  
4     progress: Any,  
5     task: Any,  
6     initial_temp: float = 1000.0,  
7     cooling_rate: float = 0.99,  
8     min_temp: float = 1e-5,  
9     num_iterations_per_temp: int = 500,  
10    step_size: float = 0.5,  
11 ) -> Tuple[np.ndarray, float]:  
12     current_theta = initial_theta.copy()  
13     best_theta = current_theta.copy()  
14     best_energy = float("inf")  
15     rng = np.random.default_rng()  
16     temp = initial_temp  
17     thermalization_steps = int(num_iterations_per_temp * 0.2)  
18     while temp > min_temp:  
19         # Термализация  
20         for _ in range(thermalization_steps):  
21             neighbor_theta = generate_neighbor_theta(current_theta,  
22                                                         step_size)  
23             ansatz_dict, _, _ = calculate_ansatz(neighbor_theta,  
24                                                         pauli_operators)  
25             uhu_dict = compute_uhu(ansatz_dict, pauli_operators)  
26             current_energy = calculate_expectation(uhu_dict)  
27             if current_energy < best_energy:  
28                 best_theta = neighbor_theta.copy()  
29                 best_energy = current_energy  
30                 current_theta = neighbor_theta.copy()  
31                 if progress is not None:  
32                     progress.update(task, advance=1)  
33         # Основной цикл  
34         for _ in range(num_iterations_per_temp):  
35             perturbation = rng.normal(0, step_size * (temp /  
36                                                         initial_temp), current_theta.shape)  
37             neighbor_theta = (current_theta + perturbation) % (2 *  
38                                                         np.pi)  
39             ansatz_dict, _, _ = calculate_ansatz(neighbor_theta,  
40                                                         pauli_operators)  
41             uhu_dict = compute_uhu(ansatz_dict, pauli_operators)  
42             current_energy = calculate_expectation(uhu_dict)  
43             energy_diff = current_energy - best_energy  
44             if energy_diff < 0 or rng.random() < np.exp(-energy_diff /  
45                                                         temp):  
46                 current_theta = neighbor_theta.copy()  
47                 if current_energy < best_energy:
```

```

42         best_theta = current_theta.copy()
43         best_energy = current_energy
44         if progress is not None:
45             progress.update(task, advance=1)
46         temp *= cooling_rate
47     return best_theta, best_energy

```

## 2.2.10 Визуализация и логирование результата

Для удобства анализа и отладки программа реализует вывод промежуточных и итоговых результатов в консоль в виде таблиц, панелей и прогресс-баров с помощью библиотеки `rich`, а также ведёт лог-файл всего вывода. В частности, реализованы функции

```

1 def print_hamiltonian(console, pauli_operators): ...
2 def print_pauli_table(console, pauli_operators): ...
3 def print_composition_table(console, pauli_compose, pauli_strings): ...

```

Итоговое значение энергии и параметры оптимального анзаца выводятся в символьном и численном виде.

## 2.3 Сравнительные результаты тестирования

Вариационные квантовые алгоритмы оказались наиболее эффективными в задачах квантовой химии. В частности, при решении этих задач разработаны методы построения анзацев для многокубитных гамильтонианов [14, 15, 16, 17], а для классической оптимизации целевой функции обычно применяются варианты метода градиентного спуска.

В данной работе для тестирования вариационного квантового алгоритма с оптимизацией по методу отжига в системе из четырех кубитов используется гамильтониан

$$\begin{aligned} \hat{H}_{OH} = & 0.501 \hat{\sigma}_{1230} - 0.501 \hat{\sigma}_{2103} - 1.252 \hat{\sigma}_{0330} \\ & - 1.453 \hat{\sigma}_{2323} + 1.700 \hat{\sigma}_{1010} + 0.223 \hat{\sigma}_{1313}, \end{aligned} \quad (2.8)$$

взятый из работы [18], в которой изучается спектроскопия основного состояния гидроксильной группы  $\text{OH}^-$ ; гамильтониан переписан в базисе

Паули и редуцирован по нулевому уровню энергии (т.е. учтена только бесследовая часть оператора). Сравнительное тестирование включает в себя две задачи: во-первых, сравнительное тестирование двух методов Монте-Карло выбора нового набора параметров, а именно, метода отжига и метода случайного поиска; во-вторых, сравнительное тестирование анзацев — универсального анзаца, построенного на основе базисных операторов Паули из  $\hat{H}_{OH}$ , и нескольких "угаданных" пробных анзацев.

Универсальный анзац имеет вид

$$\hat{U}(\boldsymbol{\theta}) = e^{i\theta_4 \hat{\sigma}_{0330}} e^{i\theta_3 \hat{\sigma}_{1313}} e^{i\theta_2 \hat{\sigma}_{2103}} e^{i\theta_1 \hat{\sigma}_{1230}}, \quad (2.9)$$

где  $\theta_k \in [0, 2\pi)$ ,  $k = 1, 2, 3, 4$ . Он записан на основе операторов Паули из гамильтониана (2.8) за исключением операторов  $\hat{\sigma}_{1100}$   $\hat{\sigma}_{2323}$ , которые дублируются оператором  $\hat{\sigma}_{1313}$ . Последний выбран только потому, что он входит в гамильтониан с минимальным коэффициентом.

Испытания пробных одно- и двухпараметрических анзацев требуют очень большого числа вычислительных экспериментов, в которых эти анзацы генерируются случайным образом. В конце концов испытания показывают, что унитарное преобразование из  $SU(2^4)$ , переводящее  $|0000\rangle$  в основное состояние, принадлежит однопараметрической подгруппе оператора  $\hat{\sigma}_{1020} \in \mathfrak{su}(2^4)$  (или оператора  $\hat{\sigma}_{2010}$ ). А именно,

$$\hat{U}(\theta) = e^{i\theta \hat{\sigma}_{1020}} = (\cos\theta \hat{\sigma}_{0000} + i \sin\theta \hat{\sigma}_{1020}),$$

так что основное состояние  $|\psi\rangle_0 = \hat{U}(\theta) |0000\rangle$  достигается при

$$\cos\theta = 0.8209, \quad \sin\theta = 0.5711, \quad |\psi\rangle_0 = 0.8209 |0000\rangle - 0.5711 |1010\rangle.$$

Для гамильтониана (2.8) легко проверить прямым вычислением, что  $\hat{H}_{OH} |\psi\rangle_0 = -3.601 |\psi\rangle_0$ , а используя матричное представление данного гамильтониана можно убедиться (с использованием системы Maple), что  $E_0 = -3.601$  является энергией основного состояния  $|\psi\rangle_0$ . Кроме того, также нетрудно найти, что функция энергии  $E(\boldsymbol{\theta}) = \langle \psi(\boldsymbol{\theta}) | \hat{H} | \psi(\boldsymbol{\theta}) \rangle$  для анзаца (2.9) имеет двенадцать локальных минимумов.

### 2.3.1 Сравнительный анализ параметров отжига

Для оценки эффективности вариационного квантового алгоритма с оптимизацией методом имитации отжига были проведены серии тестов с различными наборами параметров отжига. В качестве эталонного значения использовалась энергия основного состояния, равная  $-3.601$ . В каждом тесте варьировались следующие параметры: начальная температура (`initial_temp`), множитель охлаждения (`cooling_rate`), минимальная температура (`min_temp`), число итераций на каждой температуре (`num_iterations_per_temp`), а также стандартное отклонение для шума параметров  $\theta$  (`step_size`).

Полученные результаты позволяют выделить основные закономерности:

- При фиксированных начальной температуре и числе итераций на температуре уменьшение шага *step\_size* приводит к ухудшению результата: алгоритм хуже исследует пространство параметров и чаще застревает в локальных минимумах. Наилучшие значения энергии наблюдались при *step\_size* = 0.1.
- Увеличение числа итераций на каждой температуре не приводит к принципиальному улучшению результата, хотя небольшое положительное влияние имеет место.
- Повышение начальной температуры (например, до 1000) также не даёт существенного выигрыша, указывая на то, что роль этого параметра в пределах выбранных диапазонов невелика.
- Во всех тестах достигнутое значение энергии оставалось выше эталонного примерно на 0.20 — 0.24 единицы, что может быть связано с ограничениями самого метода или особенностями выбора анзаца.

Таким образом, можно сделать вывод, что параметры *step\_size* и *num\_iterations\_per\_temp* оказывают наибольшее влияние на итоговую энергию, однако даже при их оптимизации достичь эталонного значения не удалось. Это свидетельствует о необходимости дальнейшей доработки схемы оптимизации: возможно, стоит рассмотреть более сложные схемы

охлаждения, адаптивное изменение шага или комбинированные алгоритмы поиска. Полученные результаты подчеркивают важность тонкой настройки параметров имитации отжига для задач вариационной квантовой оптимизации.

# Заключение

В работе получены следующие основные результаты:

1. Предложена новая схема вариационного квантового алгоритма, отличающаяся использованием метода имитации отжига в качестве метода оптимизации в вариационной квантовой схеме.
2. Разработан алгоритм классического компьютерного моделирования предложенной схемы вариационной квантовой оптимизации для тестирования эффективности метода отжига для конкретных гамильтонианов.
3. Алгоритм классического моделирования реализован в виде программного модуля на языке Python. Проведён сравнительный анализ различных параметров отжига и анзацев квантовой схемы.

# Литература

- [1] J. Preskill. *Quantum Computing in the NISQ era and beyond*. Quantum, vol. 2, p. 79, 2018.  
([quantum-journal:q-2018-08-06-79](#))
- [2] M. Schuld, I. Sinayskiy, F. Petruccione. *An introduction to quantum machine learning*. Contemporary Physics, vol. 56, no. 2, pp. 172-185, 2015.  
([tandfonline:00107514.2014.964942](#))
- [3] J. Biamonte, et al. *Quantum machine learning*. Nature, vol. 549, pp. 195-202, 2017.  
([nature:nature23474](#))
- [4] A. W. Harrow, A. Hassidim, and S. Lloyd. *Quantum algorithm for linear systems of equations*. Physical Review Letters, vol. 103, no. 15, p. 150502, 2009.  
([aps:PhysRevLett.103.150502](#))
- [5] N. Moll, P. Barkoutsos, L. Bishop, J. M. Chow, A. Cross, D. J. Egger, S. Filipp, A. Fuhrer, J. M. Gambetta, M. Ganzhorn, et al. *Quantum optimization using variational algorithms on near-term quantum devices*. Quantum Science and Technology, vol. 3, no. 3, p. 030503, 2018.  
([iopscience:2058-9565/aab822](#))
- [6] V. Havlicek, A. D. Córcoles, K. Temme, A. W. Harrow, A. Kandala, J. M. Chow, J. M. Gambetta. *Supervised learning with quantum-enhanced feature spaces*. Nature, vol. 567, pp. 209-212, 2019.  
([nature:s41586-019-0980-2](#))

- [7] M. Cerezo, et al. *Variational Quantum Algorithms*. Nature Reviews Physics, vol. 3, pp. 625-644, 2021.  
([nature:42254-021-00348-9](#))
- [8] A. Peruzzo, et al. *A variational eigenvalue solver on a photonic quantum processor*. Nature Communications, vol. 5, p. 4213, 2014.  
([nature:ncomms5213](#))
- [9] E. Farhi, J. Goldstone, and S. Gutmann. *A Quantum Approximate Optimization Algorithm*. arXiv preprint arXiv:1411.4028, 2014.  
([arXiv:1411.4028](#))
- [10] P. Salamon, P. Sibani, R. Frost. *Facts, Conjectures, and Improvements for Simulated Annealing*. SIAM: Society for Industrial and Applied Mathematics, Philadelphia, 2002.  
([epubs.siam.org/doi/epdf/10.1137/1.9780898718300](#))
- [11] А. А. Лоратин. *Метод отжига*. Санкт-Петербургский Государственный Университет, 2005.  
([math.spbu:user/gran/sb1/loratin](#))
- [12] Нильсен М., Чанг И. *Квантовые вычисления и квантовая информация*. Пер. с англ - М: Мир, 2006г. - 824 с.  
([djvu.online/file/cO8qDRGAwOIe2](#))
- [13] V. V. Nikonov, A. N. Tsirulev. *Pauli basis formalism in quantum computations*. Volume 8, No 3, pp. 1 – 14, 2020.  
([doi:10.26456/mmg/2020-831](#))
- [14] A. Kandala, et al. *Hardware-efficient variational quantum eigensolver for small molecules and quantum magnets*. Nature, vol. 549, pp. 242-246, 2017.  
([nature:nature23879](#))
- [15] A. Aspuru-Guzik, A. D. Dutoi, P. J. Love, M. Head-Gordon. *Simulated Quantum Computation of Molecular Energies*. Science, vol. 309, no. 5741, pp. 1704-1707, 2005.  
([science:1113479](#))



- [16] A. Daskin, S. Kais. *Decomposition of unitary matrices for finding quantum circuits: Application to molecular Hamiltonians*. The Journal of Chemical Physics, vol. 141, no. 23, p. 234115, 2014.  
([aip:1.4904315](#))
- [17] J. Romero, R. Babbush, J. R. McClean, C. Hempel, P. J. Love, A. Aspuru-Guzik. *Strategies for quantum computing molecular energies using the unitary coupled cluster ansatz*. Quantum Science and Technology, vol. 4, no. 1, p. 014008, 2018.  
([iopscience:2058-9565/aad3e4](#))
- [18] N. Cawley, Z. Howard, M. Kleinert et al. *Analytical study of level crossings in the Stark-Zeeman spectrum of ground state OH*. Eur. Phys. J. D, vol. 67, 233, 2013. – M. Bhattacharya. S. Marin, M. Kleinert. *Coherent cancellation of geometric phase for the OH molecule in external fields*, 2014.  
([arXiv.1404.6285](#))

# Приложение Python

```
1 import sys
2 import io
3 import numpy as np
4 from pathlib import Path
5 from rich.console import Console
6 from rich.table import Table
7 from rich.panel import Panel
8 from rich.progress import Progress, BarColumn, TextColumn, SpinnerColumn
9 from rich import box
10 from sympy import re as sp_re, im as sp_im
11 from functools import lru_cache
12 from typing import Any, List, Dict, Tuple, Union, Callable
13
14
15 def get_base_path() -> Path:
16     """
17     Определяет базовую директорию проекта.
18
19     Returns:
20         Path: Абсолютный путь к папке с .exe-файлом (если приложение зам
                орожено)
21             или к корню проекта (в режиме разработки).
22
23     Примечания:
24         - sys.frozen (атрибут пакета PyInstaller) используется для опред
                еления,
25           был ли код скомпилирован в исполняемый файл.
26         - Это позволяет корректно определять относительные пути при запу
                ске
27           как из исходников, так и из собранного .exe.
28     """
29     if getattr(sys, "frozen", False):
30         # Для скомпилированного EXE возвращаем директорию исполняемого ф
                айла.
31         return Path(sys.argv[0]).parent
32     else:
33         # Для разработки возвращаем корень проекта (на уровень выше
                constants/).
34         return Path(__file__).parent.parent
```

```

35
36
37 # Абсолютный путь к файлу с гамильтонианом (описание операторов Паули и
    их коэффициентов).
38 HAMILTONIAN_FILE_PATH: Path = get_base_path() / "params" /
    "hamiltonian_operators.txt"
39
40 # Абсолютный путь к файлу для логирования вывода (очищается при запуске
    ).
41 OUTPUT_FILE_PATH: Path = get_base_path() / "output.log"
42 # Карта произведения для базисных операторов Паули:
43 # (i, j) -> (мнимая единица с правильным знаком, индекс результата)
44 # Индексы: 0=I, 1=X, 2=Y, 3=Z
45 PAULI_MAP = {
46     (1, 2): (1j, 3), # X*Y = iZ
47     (2, 1): (-1j, 3), # Y*X = -iZ
48     (3, 1): (1j, 2), # Z*X = iY
49     (1, 3): (-1j, 2), # X*Z = -iY
50     (2, 3): (1j, 1), # Y*Z = iX
51     (3, 2): (-1j, 1), # Z*Y = -iX
52 }
53
54
55 def calculate_temp_steps(
56     initial_temp: float, cooling_rate: float, min_temp: float
57 ) -> int:
58     """
59     Вычисляет количество температурных шагов для метода отжига.
60
61     Алгоритм: на каждом шаге температура уменьшается по формуле:
62          $T_{n+1} = T_n * cooling\_rate$ 
63     Шаги считаются, пока температура не станет меньше min_temp.
64
65     Args:
66         initial_temp (float): Начальная температура.
67         cooling_rate (float): Множитель охлаждения ( $0 < cooling\_rate < 1$ ).
68         min_temp (float): Минимально допустимая температура.
69
70     Returns:
71         int: Число температурных шагов до достижения min_temp.
72     """
73     steps = 0
74     current_temp = initial_temp
75     while current_temp > min_temp:
76         current_temp *= cooling_rate
77         steps += 1
78     return steps
79
80
81 def console_and_print(console: Console, message: Any) -> None:

```

```

82     """
83     Выводит сообщение в консоль и дублирует его в лог-файл.
84
85     Args:
86         console (Console): объект rich.Console для форматированного выво
            да.
87         message (Any): строка, rich.Panel или другой объект, печатаемый
            в консоль.
88
89     Примечания:
90         - Используется rich для красивого форматирования в консоли и лог
            ах.
91         - Лог хранит весь вывод, включая цветовые коды (если
            export_text это поддерживает).
92     """
93     console.print(message)
94     with open(OUTPUT_FILE_PATH, "a", encoding="utf-8") as file:
95         file.write(console.export_text() + "\n")
96
97
98 def create_table(
99     columns: List[Dict[str, str]],
100     data: List[List[Any]],
101     title: str,
102     border_style: str = "yellow",
103 ) -> Panel:
104     """
105     Создает таблицу rich.Table и оборачивает ее в rich.Panel для консоль
        ного вывода.
106
107     Args:
108         columns (List[Dict[str, str]]): Описание столбцов (ключи: name,
            style, justify).
109         data (List[List[Any]]): Массив данных для строк таблицы.
110         title (str): Заголовок панели.
111         border_style (str): Цвет рамки панели.
112
113     Returns:
114         Panel: Панель с таблицей для печати в консоль.
115     """
116     table = Table(box=box.ROUNDED, border_style=border_style)
117     for col in columns:
118         table.add_column(
119             col["name"],
120             justify=col.get("justify", "default"),
121             style=col.get("style", ""),
122         )
123     for row in data:
124         table.add_row(*row)
125     return Panel(table, title=title, border_style=border_style)
126

```

```

127
128 def format_ansatz(
129     pauli_operators: List[Tuple[complex, List[int]]],
130     result: Dict[Tuple[int, ...], complex],
131 ) -> Tuple[str, str]:
132     """
133     Форматирует вариационный анзац в символьное и численное представлени
134     е.
135
136     Args:
137         pauli_operators (List[Tuple[complex, List[int]]]): Список операторов Паули для анзаца,
138         где каждый оператор представлен кортежем из коэффициента и вектора индексов.
139         result (Dict[Tuple[int, ...], complex]): Разложение анзаца после экспоненцирования
140         по базису Паули (ключ: вектор индексов, значение: коэффициент).
141
142     Returns:
143         Tuple[str, str]: Строки символьного (произведение экспонент) и численного (разложение) представления.
144
145     Символьное представление важно для понимания структуры унитарного оператора:
146         
$$U(\theta) = \exp(i \cdot \theta_1 \cdot c_1 \cdot \sigma_1) \cdot \exp(i \cdot \theta_2 \cdot c_2 \cdot \sigma_2) \cdots$$

147
148     Численное разложение полезно для анализа конечного состояния оператора:
149         
$$U = \alpha_0 \cdot I + \alpha_1 \cdot \sigma_1 + \alpha_2 \cdot \sigma_2 + \cdots$$

150     """
151     ansatz_symbolic = "U(θ) = " + " * ".join(
152         [
153             f"exp(i·θ_{i+1}·{format_complex_number(coeff)})·σ_{''.join(map(str, op))}"
154             for i, (coeff, op) in enumerate(pauli_operators)
155         ]
156     )
157     ansatz_numeric = "U = " + " + ".join(
158         [
159             f"{format_complex_number(c)}·σ_{''.join(map(str, op))}"
160             for op, c in result.items()
161             if abs(c) > 1e-12
162         ]
163     )
164     return ansatz_symbolic, ansatz_numeric
165
166
167 def format_complex_number(c) -> str:
168     """

```

```

169     Форматирует комплексное число (или выражение SymPy) в строку с подав-
170         лением артефактов.
171
172     Args:
173         c (complex|sympy.Expr): Комплексное число или выражение.
174
175     Returns:
176         str: Отформатированное комплексное число (пример: '1.2-3i').
177
178     Особенности:
179         - Если число очень близко к нулю (<1e-12), оно не выводится.
180         - Мнимая часть  $\pm 1$  форматируется как  $\pm i$ .
181         - Корректно обрабатывает как стандартные числа, так и объекты
182           SymPy.
183
184     """
185     real = float(sp_re(c))
186     imag = float(sp_im(c))
187
188     real_str = format_number(real) if abs(real) > 1e-12 else ""
189     imag_str = ""
190
191     if abs(imag) > 1e-12:
192         abs_imag = abs(imag)
193         imag_value = format_number(abs_imag)
194         if imag_value == "1":
195             imag_str = "i" if imag > 0 else "-i"
196         else:
197             imag_sign = "" if imag > 0 else "-"
198             imag_str = f"{imag_sign}{imag_value}i"
199
200     parts = []
201     if real_str:
202         parts.append(real_str)
203     if imag_str:
204         parts.append(imag_str)
205
206     if not parts:
207         return "0"
208
209     result = parts[0]
210     for part in parts[1:]:
211         if part.startswith("-"):
212             result += f"-{part[1:]}"
213         else:
214             result += f"+{part}"
215
216     return result.replace("+ -", "- ").replace("1i",
217         "i").replace(".0i", "i")
218
219 def format_number(num: float | int) -> str:

```

```

217 """
218 Форматирует число для вывода, корректно подавляя артефакты округлени
    я.
219
220 Args:
221     num (float|int): Число для форматирования.
222
223 Returns:
224     str: Число в виде строки, без лишних нулей и ошибок округления.
225 """
226 if abs(num - round(num)) < 1e-15:
227     return str(int(round(num)))
228 s = f"{num:.14f}".rstrip("0").rstrip(".")
229 if s.startswith("."):
230     s = "0" + s
231 elif s.startswith("-."):
232     s = s.replace("-", "-0.")
233 if "." in s:
234     int_part, dec_part = s.split(".")
235     dec_part = dec_part[:4].ljust(4, "0").rstrip("0")
236     s = f"{int_part}.{dec_part}" if dec_part else int_part
237 return s
238
239
240 def get_operator_for_console(c: Union[complex, float, int], i: str) ->
    str:
241     """
242     Формирует строку для красивого вывода оператора Паули.
243
244     Args:
245         c (complex|float|int): Коэффициент перед оператором.
246         i (str): Индексная строка оператора (например, '03' для  $I \otimes Z$ ).
247
248     Returns:
249         str: Строка вида ' $\sigma_i$ ' или ' $c \cdot \sigma_i$ '
250             (если коэффициент не равен 1).
251     """
252     if c == 1:
253         return f" $\sigma_{\{i\}}$ "
254     else:
255         return f"{format_complex_number(c)} *  $\sigma_{\{i\}}$ "
256
257
258 def initialize_environment() -> Console:
259     """
260     Инициализирует окружение для запуска программы:
261     - Очищает лог-файл с прошлых запусков.
262     - Возвращает объект rich.Console для форматированного вывода.
263
264     Returns:
265         Console: Готовый к использованию rich.Console.

```

```

266     """
267     if OUTPUT_FILE_PATH.exists():
268         OUTPUT_FILE_PATH.unlink()
269     return Console(force_terminal=True, color_system="truecolor",
270                    record=True)
271
272 def print_composition_table(
273     console: Console,
274     pauli_compose: Callable[[tuple, tuple], Tuple[complex, tuple]],
275     pauli_strings: List[List[int]],
276 ) -> None:
277     """
278     Выводит таблицу композиции операторов Паули для всех их пар.
279
280     Args:
281         console (Console): Объект rich.Console.
282         pauli_compose (Callable): Функция для композиции двух операторов
283             Паули.
284         pauli_strings (List[List[int]]): Список векторных индексов опера-
285             торов Паули.
286     """
287     results = []
288     # Перебор всех пар операторов Паули
289     for s1 in pauli_strings:
290         for s2 in pauli_strings:
291             coeff, product = pauli_compose(tuple(s1), tuple(s2))
292             results.append((s1, s2, format_complex_number(coeff),
293                           product))
294
295     table_data = [
296         [str(s1), str(s2), str(h).lower(), str(p)] for s1, s2, h, p in
297         results
298     ]
299     console_and_print(
300         console,
301         create_table(
302             columns=[
303                 {"name": "Оператор 1", "style": "cyan", "justify":
304                  "center"},
305                 {"name": "Оператор 2", "style": "magenta", "justify":
306                  "center"},
307                 {"name": "Коэффициент", "style": "green", "justify":
308                  "center"},
309                 {"name": "Результат", "style": "red", "justify":
310                  "center"},
311             ],
312             data=table_data,
313             title="Композиции операторов Паули",
314             border_style="green",
315         ),
316     )

```



```

308     )
309
310
311 def print_hamiltonian(
312     console: Console, pauli_operators: List[Tuple[complex, List[int]]]
313 ) -> None:
314     """
315     Выводит гамильтониан в удобочитаемом виде.
316
317     Args:
318         console (Console): rich.Console для вывода.
319         pauli_operators (List[Tuple[complex, List[int]]]): Список операторов Паули с коэффициентами.
320     """
321     hamiltonian_str = "H = " + " + ".join(
322         [get_operator_for_console(c, "".join(map(str, i))) for c, i in
          pauli_operators]
323     )
324     console_and_print(
325         console,
326         Panel(
327             hamiltonian_str,
328             title="[bold]Введенный гамильтониан[/bold]",
329             border_style="green",
330         ),
331     )
332
333
334 def print_pauli_table(
335     console: Console, pauli_operators: List[Tuple[complex, List[int]]]
336 ) -> None:
337     """
338     Выводит таблицу всех операторов Паули из гамильтониана.
339
340     Args:
341         console (Console): rich.Console для вывода.
342         pauli_operators (List[Tuple[complex, List[int]]]): Список операторов Паули с коэффициентами.
343     """
344     table_data = [[format_complex_number(c), str(i)] for c, i in
345                   pauli_operators]
346     console_and_print(
347         console,
348         create_table(
349             columns=[
350                 {"name": "Коэффициент", "style": "cyan"},
351                 {"name": "Индекс", "style": "magenta", "justify":
352                  "center"}],
353             data=table_data,
354             title="Операторы Паули",

```

```

354         border_style="purple",
355     ),
356 )
357
358
359 from pathlib import Path
360 from typing import List, Union
361
362
363 def read_file_lines(file_path: Union[str, Path], ignore_comments: bool)
-> List[str]:
364     """
365     Считывает строки из файла, игнорируя комментарии (начинающиеся с
366     '#').
367
368     Args:
369         file_path (str|Path): Путь к файлу.
370         ignore_comments (bool): Если True, строки, начинающиеся с '#', и
371         гнорируются.
372
373     Returns:
374         List[str]: Список строк без лишних пробелов и пустых строк.
375
376     Raises:
377         FileNotFoundError: Если файл не существует.
378     """
379     file_path = Path(file_path) if not isinstance(file_path, Path) else
file_path
380     if not file_path.exists():
381         raise FileNotFoundError(f"Файл {file_path} не найден.")
382     with open(file_path, "r") as file:
383         return [
384             line.strip()
385             for line in file
386             if not (ignore_comments and line.strip().startswith("#"))
387         ]
388
389 def read_hamiltonian_data(
390     file_path,
391 ) -> Tuple[List[Tuple[complex, List[int]]], List[List[int]]]:
392     """
393     Читает список операторов Паули из текстового файла.
394
395     Формат файла:
396     <действительная часть> <мнимая часть> <строка Паули>
397
398     Returns:
399     Tuple[List[Tuple[complex, List[int]]], List[List[int]]]:
400     - Список операторов (коэффициент, индексы Паули)
401     - Список только индексов (без коэффициентов)

```

```

401 """
402 lines = read_file_lines(file_path, ignore_comments=False)
403 pauli_operators: List[Tuple[complex, List[int]]] = []
404 pauli_strings: List[List[int]] = []
405 for line in lines:
406     parts = line.strip().split()
407     if len(parts) == 3:
408         real_part, imag_part, index_str = (
409             float(parts[0]),
410             float(parts[1]),
411             str(parts[2]),
412         )
413         coefficient = np.complex128(real_part + imag_part * 1j)
414         index_list = [int(c) for c in index_str]
415         if coefficient != 0:
416             pauli_operators.append((coefficient, index_list))
417             pauli_strings.append(index_list)
418 return pauli_operators, pauli_strings
419
420
421 def calculate_ansatz(
422     theta: np.ndarray, pauli_operators: List[Tuple[complex, List[int]]]
423 ) -> Tuple[Dict[Tuple[int, ...], complex], str, str]:
424     """
425     Вычисляет вариационный анзац в виде произведения экспонент операторо
426     в Паули.
427
428     Args:
429         theta (np.ndarray): Вектор параметров (обычно одного размера с ч
430         ислом операторов).
431         pauli_operators (List[Tuple[complex, List[int]]]): Операторы Пау
432         ли с коэффициентами.
433
434     Returns:
435         Tuple[
436             Dict[Tuple[int, ...], complex], # Разложение анзаца по Пау
437             ли-операторам
438             str, # Символьное представление
439             (произведение экспонент)
440             str # Численное разложение
441         ]
442
443     Алгоритм:
444         
$$U(\theta) = \prod_j \exp(i \cdot \theta_j \cdot |c_j| \cdot \sigma_j)$$

445         Реализуется по принципу покомпонентного разложения через формулу
446         Эйлера:
447         
$$\exp(i \cdot \alpha \cdot \sigma) = \cos(\alpha) \cdot I + i \cdot \sin(\alpha) \cdot \sigma$$

448         С каждым новым оператором результат рекурсивно обновляется через
449         pauli_compose.
450     """
451     operator_length = len(pauli_operators[0][1])

```

```

445 result: Dict[Tuple[int, ...], complex] = {tuple([0] *
446         operator_length): 1.0}
447
448 for t, (coeff, op) in zip(theta, pauli_operators):
449     angle = t * abs(coeff) # Используем абсолютное значение коэффиц
450     иента!
451     cos_t = np.cos(angle)
452     sin_t = np.sin(angle)
453     new_result: Dict[Tuple[int, ...], complex] = {}
454     op_tuple = tuple(op)
455     for existing_op, existing_coeff in result.items():
456         # cos(angle) * I (сохраняем индекс базисного оператора)
457         new_result[existing_op] = (
458             new_result.get(existing_op, 0) + existing_coeff * cos_t
459         )
460         # i*sin(angle)*σ (композиция Паули)
461         compose_coeff, compose_op = pauli_compose(existing_op,
462             op_tuple)
463         final_coeff = existing_coeff * 1j * sin_t * compose_coeff
464         new_result[compose_op] = new_result.get(compose_op, 0) +
465             final_coeff
466     result = new_result
467
468 symbolic_str, numeric_str = format_ansatz(pauli_operators, result)
469 return result, symbolic_str, numeric_str
470
471 from typing import Tuple, Dict
472
473 def calculate_expectation(uhu_dict: Dict[Tuple[int, ...], complex]) ->
474     float:
475     """
476     Вычисляет среднее значение энергии  $\langle 0|U^\dagger H U|0\rangle|0\dots 0\rangle$ .
477
478     Args:
479         uhu_dict (Dict[Tuple[int, ...], complex]): Разложение оператора
480              $U^\dagger H U$ 
481             по базису Паули (ключ: индекс, значение: коэффициент).
482
483     Returns:
484         float: Ожидаемое значение (энергия).
485
486     Примечание:
487         - Только те операторы, которые не изменяют  $|0\dots 0\rangle$ 
488           (то есть содержащие только I и Z),
489           могут дать нетривиальный вклад в среднее значение.
490     """
491     expectation = 0.0
492     for op, coeff in uhu_dict.items():

```

```

489         if all(p in (0, 3) for p in op): # Только I или Z на каждом куб
490             ите
491             expectation += coeff.real
492         return expectation
493
494 def compute_uhu(
495     u_dict: Dict[Tuple[int, ...], complex], h_terms:
496     List[Tuple[complex, List[int]]]
497 ) -> Dict[Tuple[int, ...], complex]:
498     """
499     Вычисляет оператор  $U^\dagger H U$  в базисе Паули.
500
501     Args:
502         u_dict (Dict[Tuple[int, ...], complex]): Разложение оператора U.
503         h_terms (List[Tuple[complex, List[int]]]): Операторы гамильтониа
504             на с коэффициентами.
505
506     Returns:
507         Dict[Tuple[int, ...], complex]: Разложение  $U^\dagger H U$ 
508             по Паули операторам.
509
510     Алгоритм:
511         ( $U^\dagger H U$ )_{kl} = sum_{i,j} conj(U_{ik}) * H_{ij} * U_{jl}
512         Реализовано через перебор всех Паули-операторов.
513     """
514     uhu_dict: Dict[Tuple[int, ...], complex] = {}
515     u_items = list(u_dict.items())
516     for coeff_h, op_h in h_terms:
517         op_h_tuple = tuple(op_h)
518         for j_op, j_coeff in u_items:
519             conj_j_coeff = np.conj(j_coeff)
520             c1, op_uh = pauli_compose(j_op, op_h_tuple)
521             for k_op, k_coeff in u_items:
522                 c2, op_uhu = pauli_compose(op_uh, k_op)
523                 total_coeff = conj_j_coeff * k_coeff * coeff_h * c1 * c2
524                 uhu_dict[op_uhu] = uhu_dict.get(op_uhu, 0) + total_coeff
525     return uhu_dict
526
527 def generate_neighbor_theta(
528     current_theta: np.ndarray, step_size: float = 0.1
529 ) -> np.ndarray:
530     """
531     Генерирует новое состояние  $\theta$ , добавляя нормальный шум
532     с заданной дисперсией, и приводит все значения к диапазону  $[0, 2\pi)$ .
533
534     Args:
535         current_theta (np.ndarray): Текущий вектор параметров.
536         step_size (float): Стандартное отклонение для гауссового шума.

```

```

537 Returns:
538     np.ndarray: Новый вектор параметров.
539     """
540     perturbation = np.random.normal(scale=step_size,
541                                     size=current_theta.shape)
542     return (current_theta + perturbation) % (2 * np.pi)
543
544 def generate_shifted_theta(
545     pauli_operators: List[Tuple[complex, List[int]]]
546 ) -> np.ndarray:
547     """
548     Генерирует начальный вектор  $\theta$  для анзаца, масштабируя его пропорцион
549     ально
550     модулям коэффициентов операторов Паули.
551
552     Args:
553         pauli_operators (List[Tuple[complex, List[int]]]): Операторы Пау
554         ли.
555
556     Returns:
557         np.ndarray: Начальный вектор  $\theta$  (размер соответствует числу опера
558         торов).
559     """
560     if not pauli_operators:
561         return np.array([], dtype=np.float64)
562     # Используем модуль коэффициента (абсолютная величина, чтобы избежат
563     # ь ошибок для комплексных коэффициентов)
564     coeffs = np.array([abs(op[0]) for op in pauli_operators],
565                       dtype=np.float64)
566     norm = np.linalg.norm(coeffs)
567     if norm < 1e-12:
568         return np.zeros(len(coeffs))
569     # Масштабируем на диапазон  $[0, 2\pi)$  и добавляем небольшой случайный ш
570     ум
571     scaled = (coeffs / norm) * 2 * np.pi
572     return scaled + np.random.normal(0, 0.1, len(scaled))
573
574 def multiply_pauli(i: int, j: int) -> Tuple[complex, int]:
575     """
576     Перемножает два базисных оператора Паули.
577
578     Args:
579         i (int): Первый индекс (0=I, 1=X, 2=Y, 3=Z).
580         j (int): Второй индекс (0=I, 1=X, 2=Y, 3=Z).
581
582     Returns:
583         Tuple[complex, int]: Коэффициент и индекс результата.
584     """
585     if i == j:

```

```

581         return (1, 0)
582     if i == 0:
583         return (1, j)
584     if j == 0:
585         return (1, i)
586     return PAULI_MAP.get((i, j), (1, 0))
587
588
589 @lru_cache(maxsize=4096)
590 def pauli_compose(s1: tuple, s2: tuple) -> Tuple[complex, tuple]:
591     """
592     Перемножает два оператора Паули, заданных покубитно.
593
594     Args:
595         s1 (tuple): Индексы первого оператора (например, (0,3)
596                     для  $I \otimes Z$ ).
597         s2 (tuple): Индексы второго оператора.
598
599     Returns:
600         Tuple[complex, tuple]: Коэффициент и индексы результата.
601     """
602     coefficient = 1.0
603     result = []
604     for a, b in zip(s1, s2):
605         coeff, idx = multiply_pauli(a, b)
606         coefficient *= coeff
607         result.append(idx)
608     return coefficient, tuple(result)
609
610
611 def simulated_annealing(
612     initial_theta: np.ndarray,
613     pauli_operators: List[Any],
614     progress: Any,
615     task: Any,
616     initial_temp: float = 1000.0,
617     cooling_rate: float = 0.99,
618     min_temp: float = 1e-5,
619     num_iterations_per_temp: int = 500,
620     step_size: float = 0.5,
621 ) -> Tuple[np.ndarray, float]:
622     """
623     Алгоритм отжига (simulated annealing) для оптимизации параметров  $\theta$  в
624     вариационного анзаца.
625
626     Args:
627         initial_theta (np.ndarray): Начальный вектор  $\theta$ .
628         pauli_operators (List[Tuple[complex, List[int]]]): Операторы Пау
629             ли.
630         progress (Any): Индикатор прогресса (может быть None).
631         task (Any): Задача для прогресс-бара.

```

```

630     initial_temp (float): Начальная температура (чем выше - тем веро-
        ятнее принять ухудшающее решение).
631     cooling_rate (float): Множитель охлаждения ( $0 < \text{cooling\_rate} < 1$ ).
632     min_temp (float): Минимально допустимая температура.
633     num_iterations_per_temp (int): Количество шагов на каждой темпер-
        атуре.
634     step_size (float): Стандартное отклонение для шума  $\theta$ .
635
636 Returns:
637     Tuple[np.ndarray, float]: Оптимальный найденный  $\theta$  и соответствую-
        щая энергия.
638
639 Принцип работы:
640     - На каждом шаге генерируется новое состояние  $\theta$  (случайным образ-
        ом).
641     - Если энергия уменьшилась -- принимаем новое состояние.
642     - Если энергия увеличилась -- принимаем с вероятностью
         $\exp(-\Delta E/T)$ .
643     - Температура постепенно понижается (охлаждение).
644
645 Важно:
646     - В термализации используется локальный случайный шаг (как и в о-
        сновном цикле).
647     - Это обеспечивает более 'физичное' поведение отжига.
648 """
649 current_theta = initial_theta.copy()
650 best_theta = current_theta.copy()
651 best_energy = float("inf")
652 rng = np.random.default_rng()
653 temp = initial_temp
654 thermalization_steps = int(num_iterations_per_temp * 0.2)
655
656 while temp > min_temp:
657     # Этап термализации: локальные случайные шаги для прогрева цепоч-
        ки
658     for _ in range(thermalization_steps):
659         neighbor_theta = generate_neighbor_theta(current_theta,
            step_size)
660         ansatz_dict, _, _ = calculate_ansatz(neighbor_theta,
            pauli_operators)
661         uhu_dict = compute_uhu(ansatz_dict, pauli_operators)
662         current_energy = calculate_expectation(uhu_dict)
663         if current_energy < best_energy:
664             best_theta = neighbor_theta.copy()
665             best_energy = current_energy
666         current_theta = neighbor_theta.copy()
667         if progress is not None:
668             progress.update(task, advance=1)
669
670     # Основной цикл отжига с возможностью принимать ухудшения

```



```

671         for _ in range(num_iterations_per_temp):
672             perturbation = rng.normal(
673                 0, step_size * (temp / initial_temp),
674                 current_theta.shape
675             )
676             neighbor_theta = (current_theta + perturbation) % (2 *
677                 np.pi)
678             ansatz_dict, _, _ = calculate_ansatz(neighbor_theta,
679                 pauli_operators)
680             uhu_dict = compute_uhu(ansatz_dict, pauli_operators)
681             current_energy = calculate_expectation(uhu_dict)
682             energy_diff = current_energy - best_energy
683             # Классическое правило Метрополиса
684             if energy_diff < 0 or rng.random() <
685                 np.exp(-energy_diff / temp):
686                 current_theta = neighbor_theta.copy()
687                 if current_energy < best_energy:
688                     best_theta = current_theta.copy()
689                     best_energy = current_energy
690             if progress is not None:
691                 progress.update(task, advance=1)
692             temp *= cooling_rate
693
694         return best_theta, best_energy
695
696
697 # Установка корректной кодировки стандартных потоков для поддержки
698 # Unicode
699 sys.stdout = io.TextIOWrapper(sys.stdout.buffer, encoding="utf-8")
700 sys.stderr = io.TextIOWrapper(sys.stderr.buffer, encoding="utf-8")
701
702
703 def main() -> None:
704     """
705     Основная функция программы. Реализует следующий цикл:
706     1. Чтение гамильтониана из файла.
707     2. Вывод операторов Паули и их композиции.
708     3. Оптимизация анзаца методом отжига для последовательных подмноже
709     ств операторов.
710     4. Поиск минимальной энергии и вывод оптимального анзаца.
711
712     Программа построена как демонстрация вариационного квантового алгори
713     тма
714     с классическим оптимизатором (simulated annealing).
715     """
716     console = initialize_environment()
717
718     # Проверка наличия файла с гамильтонианом
719     if not HAMILTONIAN_FILE_PATH.exists():
720         msg = (
721             f"Файл [{bold}{HAMILTONIAN_FILE_PATH}[/]] не найден!\n"

```

```

715         "Убедитесь, что рядом с EXE есть папка [bold]params[/] с фай-
716         лом [bold]hamiltonian_operators.txt[/]."
```

```

717     )
718     console_and_print(console, Panel(msg, border_style="red"))
719     return
```

```

720     try:
721         pauli_operators, pauli_strings =
722             read_hamiltonian_data(HAMILTONIAN_FILE_PATH)
723         print_hamiltonian(console, pauli_operators)
724         print_pauli_table(console, pauli_operators)
725         print_composition_table(console, pauli_compose, pauli_strings)
726     except FileNotFoundError:
727         console_and_print(
728             console,
729             Panel(
730                 f"[red]Файл {HAMILTONIAN_FILE_PATH} не найден[/red]",
731                 border_style="red"
732             ),
733         )
734     return
```

```

735     if len(pauli_operators) < 2:
736         console_and_print(
737             console,
738             Panel("[red]Требуется минимум 2 оператора Паули[/red]",
739                 border_style="red"),
740         )
741     return
```

```

742     # Параметры отжига
743     SA_PARAMS = {
744         "initial_temp": 100.0,
745         "cooling_rate": 0.95,
746         "min_temp": 1e-3,
747         "num_iterations_per_temp": 100,
748         "step_size": 0.1,
749     }
```

```

750     # Оценка общего количества шагов для прогресс-бара
751     thermalization_steps = int(SA_PARAMS["num_iterations_per_temp"] *
752                                0.2)
753     temp_steps = calculate_temp_steps(
754         SA_PARAMS["initial_temp"], SA_PARAMS["cooling_rate"],
755         SA_PARAMS["min_temp"]
756     )
757     steps_per_m = temp_steps * (
758         thermalization_steps + SA_PARAMS["num_iterations_per_temp"]
759     )
760     total_steps = steps_per_m * (len(pauli_operators) - 1)
```

```

760 best_energy = float("inf")
761 best_result = None
762 all_results = []
763
764 # Запуск прогресс-бара с симпатичным оформлением
765 with Progress(
766     SpinnerColumn(),
767     TextColumn("[progress.description]{task.description}"),
768     BarColumn(bar_width=None),
769     TextColumn("[progress.percentage]{task.percentage:>3.0f}%"),
770 ) as progress:
771     task = progress.add_task("[cyan]Отжиг...", total=total_steps)
772
773     # Последовательно увеличиваем число операторов в анзаце
774     for m in range(2, len(pauli_operators) + 1):
775         current_ops = pauli_operators[:m]
776         initial_theta = generate_shifted_theta(current_ops)
777
778         # Оптимизация параметров для текущего поднабора операторов
779         optimized_theta, energy = simulated_annealing(
780             initial_theta=initial_theta,
781             pauli_operators=current_ops,
782             progress=progress,
783             task=task,
784             **SA_PARAMS,
785         )
786
787         all_results.append(
788             {
789                 "m": m,
790                 "theta": optimized_theta,
791                 "energy": energy,
792                 "operators": current_ops,
793             }
794         )
795
796         if energy < best_energy:
797             best_energy = energy
798             best_result = all_results[-1]
799
800 # Выводим результаты оптимизации
801 if best_result is None:
802     console_and_print(
803         console, Panel("[red]Не удалось найти решение[/red]",
804             border_style="red")
805     )
806     return
807
808 _, ansatz_symbolic, ansatz_numeric = calculate_ansatz(
809     best_result["theta"], best_result["operators"]
810 )

```

```

810
811     console_and_print(
812         console,
813         Panel(
814             ansatz_symbolic,
815             title="[bold]Символьное представление анзаца[/]",
816             border_style="green",
817         ),
818     )
819
820     console_and_print(
821         console,
822         Panel(
823             ansatz_numeric,
824             title="[bold]Численное представление анзаца[/]",
825             border_style="purple",
826         ),
827     )
828
829     console_and_print(
830         console,
831         Panel(
832             f"{best_result['energy']:.6f}",
833             title="[bold]Энергия ( $\langle 0|U^\dagger H U|0 \rangle$  для состояния  $|0\dots 0\rangle$ )[/]",
834             border_style="green",
835         ),
836     )
837
838     input("Нажмите Enter для выхода...")
839
840
841 if __name__ == "__main__":
842     main()

```